

Д. Н. Запорожец, Е. Н. Симарова
О ПЛОСКИХ ВЫПУКЛЫХ РЕКОРДАХ

§1. ВВЕДЕНИЕ

Рассмотрим последовательность независимых одинаково распределенных случайных величин X_1, \dots, X_n в \mathbb{R} . Определим моменты рекордов следующим образом:

$$L(1) = 1,$$
$$L(n+1) = \inf\{j > L(n) : X_j > X_{L(n)}\}.$$

Величину $X_{L(n)}$ будем называть n -ым рекордом, а $L(n)$ – моментом наступления n -го рекорда. Теория рекордов получила существенное развитие во второй половине XX века (см., например, [1–3]). Естественным образом возникла задача обобщения этого понятия на многомерный случай. Однако ввиду отсутствия в пространстве \mathbb{R}^d при $d > 1$ канонической линейной упорядоченности, однозначное решение этой задачи представляется невозможным. Данное обстоятельство послужило стимулом для появления множества различных обобщений (см. [7, 13–22]). Большинство из упомянутых обобщений базируются на соотношениях координат случайных векторов и, как следствие, существенно зависят от выбора системы координат. В настоящей работе рассматривается обобщение, основанное на геометрическом подходе к экстремальным значениям, обладающее свойством устойчивости к замене системы координат.

Пусть X_1, X_2, X_3, \dots – последовательность независимых одинаково распределенных случайных векторов в \mathbb{R}^d . Положим $L(1) = 1$, и для $n > 1$ определим

$$L(n) = \inf\{j > L(n-1) : X_j \notin \text{conv}(X_1, \dots, X_{j-1})\}. \quad (1)$$

Вектор $X_{L(n)}$ будем называть n -ым выпуклым рекордом, а $L(n)$ – моментом его появления. Впервые данное понятие было введено в работе [7], однако до настоящего времени оно изучено недостаточно полно.

Ключевые слова: выпуклые рекорды, выпуклая оболочка, сферически симметричные распределения, легкие хвосты, область притяжения Гумбеля, случайные многогранники, вершины выпуклой оболочки, экстремальные значения, эмпирические меры, слабая сходимость.

В работе [8] получены некоторые оценки распределения выпуклых рекордов, а в [6] проанализировано асимптотическое поведение среднего числа выпуклых рекордов. В данной работе ставится задача исследования асимптотического распределения выпуклых рекордов на границе их появления, а также зависимости их количества от роста n .

Обратимся к классическим результатам для одномерных рекордов. В одномерном случае прослеживается тесная связь между теорией рекордов и теорией экстремальных значений. Примем обозначение

$$M_n = \max(X_1, \dots, X_n).$$

Теорема Фишера–Типпетта–Гнеденко (см., например, предложение 0.3 в [4]) утверждает, что если существуют последовательности $a_n > 0$ и $b_n \in \mathbb{R}$ и невырожденная функция распределения $G(x)$, такие что

$$\mathbb{P}\left[\frac{M_n - b_n}{a_n} \leq x\right] = F^n(a_n x + b_n) \rightarrow G(x), \quad (2)$$

то распределение $G(x)$ принадлежит к одному из трех типов распределений: распределение Гумбеля (тип I), распределение Фреше (тип II) или распределение Вейбулла–Гнеденко (тип III). Примечательно, что условие (2) характеризует асимптотическое поведение не только максимума, но и рекордов в целом. Это иллюстрирует следующее утверждение (см. [4, следствие 4.23]).

Выполнение соотношения (2) влечет слабую сходимость

$$\sum_{k=1}^{+\infty} \delta\left\{\frac{X_{L(k)} - b_n}{a_n}\right\} \Rightarrow \text{PRM}, \quad (3)$$

где PRM – пуассоновский точечный процесс с мерой интенсивности, задаваемой приращениями функции

$$S(x) = -\ln(-\ln(G(x))),$$

а символ \Rightarrow обозначает слабую сходимость в пространстве точечных мер в $(-\infty, +\infty)$, $(0, +\infty)$ или $(-\infty, 0)$ в случае типа I, II или III соответственно.

Вышесказанное мотивирует поиск аналогичных результатов для выпуклых рекордов в многомерном случае. В настоящей работе исследуется точечная мера выпуклых рекордов, значительно удаленных от начала координат, для сферически симметричного распределения в \mathbb{R}^2 , принадлежащего области притяжения распределения Гумбеля. Кроме

того, проводится сопоставление полученных результатов со средним числом выпуклых рекордов в аналогичных условиях.

Структура статьи организована следующим образом. В §2 формулируются условия на распределение случайных векторов X . В §3 приводится анализ среднего числа далеких рекордов. В §4 представлены результаты, касающиеся среднего числа вершин выпуклой оболочки и среднего числа рекордов. В §5 рассматриваются частные случаи, а в §6 приводятся аналогичные результаты для одномерного случая. В §7 содержатся вспомогательные сведения, необходимые для понимания доказательств, которые вынесены в §8.

Обозначения. Все асимптотические соотношения приводятся в предположении $x \rightarrow +\infty$, если не оговорено иное. Для положительных функций $f(x)$ и $g(x)$ запись $f(x) = O(g(x))$ означает существование положительной константы C , такой что $f(x) < Cg(x)$. Запись $f(x) = o(g(x))$ эквивалентна тому, что отношение $f(x)/g(x)$ стремится к нулю при $x \rightarrow \infty$. Также используется обозначение $f(x) \sim g(x)$, если отношение $f(x)/g(x)$ стремится к единице при $x \rightarrow \infty$.

§2. УСЛОВИЯ НА РАСПРЕДЕЛЕНИЕ

В данном параграфе приводится формальное описание рассматриваемых распределений. Обратимся к одномерному случаю. Известно, что если максимум случайной величины принадлежит области притяжения двойного экспоненциального закона (тип I), а носитель случайной меры не ограничен сверху, то функция распределения F допускает представление

$$1 - F(x) = c(x) \exp \left(- \int_{x_0}^x \frac{g(u)}{f(u)} du \right), \quad (4)$$

где

$$\lim_{x \rightarrow +\infty} c(x) = c_1 > 0, \quad \lim_{x \rightarrow +\infty} g(x) = 1,$$

при этом (см. [4, следствие 1.7]):

- $f(t) > 0$,
- $f'(t) \rightarrow 0$,
- f является абсолютно непрерывной функцией.

Пусть U – неубывающая функция на \mathbb{R} . Обозначим через $U^\leftarrow(x)$ обратную функцию:

$$U^\leftarrow(y) = \inf\{s : U(s) \geq y\}.$$

Инфимум пустого множества полагаем равным $+\infty$.

Выбор констант, обеспечивающих выполнение условия (2), осуществляется посредством следующих соотношений:

$$\begin{aligned} \beta_n &= \left(\frac{1}{1 - F} \right)^\leftarrow (n(1 + o(1))), \\ \alpha_n &= f(\beta_n) \end{aligned} \quad (5)$$

(см. [4, предложения 1.1 и 1.4, следствие 1.7]). Будем рассматривать последовательность независимых одинаково распределенных случайных величин X_1, \dots, X_n , имеющих сферически симметричное распределение в \mathbb{R}^2 с плотностью вида

$$q(x, y) = C_p p\left(\sqrt{x^2 + y^2}\right),$$

где $p(\cdot)$ – плотность распределения некоторой одномерной неотрицательной случайной величины с функцией распределения F вида (4). Данное определение формализует понятие двумерного распределения с легким хвостом. Нормировочная константа C_p удовлетворяет соотношению

$$\frac{1}{C_p} = \int_0^{2\pi} \int_0^{+\infty} r p(r) dr d\varphi = 2\pi \int_0^{+\infty} (1 - F(r)) dr < +\infty. \quad (6)$$

Согласно [4, лемма 1.8], при наложенных условиях интеграл сходится, и константа C_p определена корректно. Дополнительно введем следующие ограничения на распределение:

A1 Рассматриваются функции $F(x)$ вида (4), где $c(x) = c$. Это условие не является чрезмерно ограничительным; оно выполняется, например, если функция F принадлежит области притяжения двойного экспоненциального закона и производная $F'(x)$ не убывает (см. [4, предложение 1.17]).

A2 Предполагается непрерывность функций $f(x)$ и $g(x)$ в некоторой окрестности $+\infty$. Это гарантирует, что функция $F(x)$ является непрерывно дифференцируемой, а плотность $p(x)$ удовлетворяет соотношению

$$p(x) = F'(x) = \frac{(1 - F(x))g(x)}{f(x)}. \quad (7)$$

A3 Также потребуем выполнения условия

$$\liminf_{s \rightarrow \infty} \frac{f(s)}{\sup_{x \geq s} f(x)} > \varepsilon_0 \geq 0. \quad (8)$$

Данное условие обеспечивает экспоненциальное убывание функции $1 - F(x)$ на $+\infty$.

§3. СРЕДНЕЕ КОЛИЧЕСТВО ДАЛЕКИХ РЕКОРДОВ

Определим $\Phi(s)$ как функцию распределения проекции вектора X_1 на некоторое направление e :

$$\Phi(s) = \mathbb{P}[\langle X_1, e \rangle \leq s]. \quad (9)$$

В силу симметрии распределения, функция $\Phi(s)$ не зависит от выбора вектора e .

Сформулируем необходимую для дальнейшего лемму. Ее доказательство, как и доказательства прочих утверждений, приведено в пп. 8.1 и 8.3.

Лемма 1. *Пусть случайные векторы X_1, \dots, X_n удовлетворяют условиям §2. Тогда максимум проекции X_1 на произвольное направление принадлежит области притяжения распределения Гумбеля. Соответствующие нормировочные константы a_n, b_n для функции распределения $\Phi(x)$ определяются соотношениями*

$$\begin{aligned} b_n &= \left(\frac{1}{1 - \Phi} \right)^{\leftarrow} (n(1 + o(1))), \\ a_n &= f(b_n). \end{aligned} \quad (10)$$

При этом $b_n \rightarrow +\infty$ и выполняется асимптотическое соотношение:

$$C_p n(1 - F(b_n)) \sqrt{2\pi b_n f(b_n)} \rightarrow 1 \text{ при } n \rightarrow +\infty. \quad (11)$$

Константы a_n, b_n выбраны таким образом, что

$$\mathbb{P} \left[\frac{\max_{i=1,\dots,n} \langle X_i, e \rangle - b_n}{a_n} \leq x \right] = \Phi^n(a_n x + b_n) \rightarrow e^{-e^{-x}}$$

для всех $x \in \mathbb{R}$. Обозначим через

$$\tau(k) = \sup\{m : L(m) \leq k\}$$

количество выпуклых рекордов среди первых k векторов. Для $\lambda \in (0, +\infty]$ рассмотрим последовательность $T_\lambda(n)$, такую что

$$\frac{T_\lambda(n)}{n} \rightarrow \lambda \quad \text{при } n \rightarrow +\infty.$$

Определим случайную меру

$$\mu_n^\lambda = \sqrt{\frac{a_n}{b_n}} \sum_{i=1}^{\tau(T_\lambda(n))} \delta \left\{ \left(\frac{R_{L(i)} - b_n}{a_n}, \varphi_{L(i)} \right) \right\},$$

где $(R_{L(i)}, \varphi_{L(i)})$ – координаты $X_{L(i)}$ в полярной системе координат. Интеграл от функции h , заданной на $(-\infty, +\infty) \times [0, 2\pi]$, по данной случайной мере обозначается как

$$\mu_n^\lambda(h) = \sqrt{\frac{a_n}{b_n}} \sum_{i=1}^{\tau(T_\lambda(n))} h \left(\frac{R_{L(i)} - b_n}{a_n}, \varphi_{L(i)} \right).$$

Теорема 1. Пусть X_1, X_2, X_3, \dots – независимые одинаково распределенные случайные векторы в \mathbb{R}^2 , удовлетворяющие условиям §2. Тогда имеет место сходимость:

$$\mathbb{E} \mu_n^\lambda(h) \rightarrow \mu_0^\lambda(h) = \sqrt{\frac{1}{2\pi}} \int_0^{2\pi} \int_{-\infty}^{+\infty} h(z, \psi) g_\lambda(z) dz d\psi$$

для всех непрерывных функций $h : (-\infty, +\infty) \times [0, 2\pi] \rightarrow \mathbb{R}_+$ с компактным носителем. Здесь функция $g_\lambda(z)$ задается выражением

$$\begin{aligned} g_\lambda(z) &= \sqrt{\frac{2}{\pi}} \int_0^{+\infty} \int_0^{+\infty} \exp \left(-\theta^2 - \theta l - \frac{l^2}{2} \right) l \\ &\quad \times \left(1 - \left[\exp \left(-\lambda \exp \left(-z + \frac{\theta^2}{2} \right) \right) \left(1 + e^{-z + \frac{\theta^2}{2}} \right) \right] \right) dl d\theta \\ &+ 1 - e^{-\lambda e^{-z}}. \end{aligned}$$

Если $\lambda \in (0, +\infty)$, то указанная сходимость справедлива также для непрерывных ограниченных функций h с носителем, отделенным от $-\infty$.

Замечание 1. При $\lambda = +\infty$ функция g_λ принимает вид

$$g_\infty(z) = \sqrt{\frac{2}{\pi}} \int_0^{+\infty} \int_0^{+\infty} \exp\left(-\theta^2 - \theta l - \frac{l^2}{2}\right) l \, dl \, d\theta + 1.$$

Возможно точное вычисление интеграла:

$$\int_0^{+\infty} \int_0^{+\infty} \exp\left(-\theta^2 - \theta l - \frac{l^2}{2}\right) l \, dl \, d\theta = \sqrt{\pi} \frac{2 - \sqrt{2}}{2},$$

следовательно,

$$g_\infty(z) = \sqrt{2}.$$

Подробные вычисления приведены в п. 8.3.

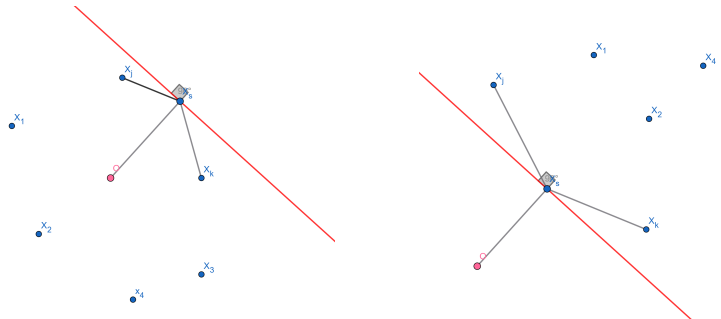
Для прояснения структуры, возникающей в теореме, введем специальный класс выпуклых рекордов.

Определение 1. Положим $\widehat{L}(1) = 1$ и

$$\begin{aligned} \widehat{L}(n) = \inf\{j > \widehat{L}(n-1) : \langle X_k, X_j \rangle < \|X_j\|^2 \text{ для всех } k = 1, \dots, j-1 \\ \text{и ли} \\ \langle X_k, X_j \rangle > \|X_j\|^2 \text{ для всех } k = 1, \dots, j-1\} \end{aligned}$$

Вектор $X_{\widehat{L}(n)}$ будем называть центрально выпуклым рекордом.

Геометрически центрально выпуклые рекорды характеризуются тем, что прямая, проходящая через X_s ортогонально вектору X_s , является опорной к выпуклой оболочке $\text{conv}(X_1, \dots, X_s)$. Очевидно, что центрально выпуклые рекорды являются подмножеством множества выпуклых рекордов. Их можно интерпретировать как одно из возможных обобщений понятия рекорда на многомерный случай. В данном контексте они используются как вспомогательный объект для анализа общих выпуклых рекордов. Введем для центрально выпуклых рекордов величины $\widehat{\tau}(k)$ и $\widehat{\mu}_n^\lambda$ по аналогии с вышеизложенным. Справедливо следующее утверждение.

Рис. 1. $\langle X_k, X_s \rangle < \|X_s\|^2$.Рис. 2. $\langle X_k, X_s \rangle > \|X_s\|^2$.

Теорема 2. Пусть X_1, X_2, X_3, \dots – независимые одинаково распределенные случайные векторы в \mathbb{R}^2 , удовлетворяющие условиям §2. Тогда

$$\mathbb{E}\widehat{\mu}_n^\lambda(h) \rightarrow \widehat{\mu}_0^\lambda(h) = \sqrt{\frac{1}{2\pi}} \int_0^{2\pi} \int_{-\infty}^{+\infty} h(z, \psi) \widehat{g}_\lambda(z) dz d\psi$$

для всех непрерывных функций $h: (-\infty, +\infty) \times [0, 2\pi] \rightarrow \mathbb{R}_+$ с компактным носителем. Функция $\widehat{g}_\lambda(z)$ имеет вид

$$\widehat{g}_\lambda(z) = 1 - e^{-\lambda e^{-z}}.$$

Если $\lambda \in (0, +\infty)$, сходимость также имеет место для непрерывных ограниченных функций h с носителем, отделенным от $-\infty$.

При $\lambda = +\infty$ выполняется равенство

$$\widehat{g}_\lambda(z) = 1.$$

Замечание 2. Теорема 2 демонстрирует, что в предельной плотности из теоремы 1 слагаемое вне интеграла соответствует вкладу центрально выпуклых рекордов, тогда как интегральное слагаемое описывает выпуклые рекорды, не являющиеся центрально выпуклыми. Из доказательства теоремы 1 следует, что переменная θ связана с условной вероятностью того, что грань выпуклой оболочки $\text{conv}(X_1, \dots, X_s)$ образует угол

$$\sqrt{\frac{a_n}{b_n}} \theta$$

с прямой из определения центрально выпуклых рекордов, а переменная l соответствует условной вероятности нахождения соседней вершины выпуклой оболочки на расстоянии $\sqrt{a_n b_n} l$.

§4. ВЫПУКЛЫЕ РЕКОРДЫ И ВЕРШИНЫ ВЫПУКЛОЙ ОБОЛОЧКИ

Существует тесная связь между выпуклыми рекордами и вершинами выпуклой оболочки. Обозначим через V_n количество вершин выпуклой оболочки множества точек X_1, \dots, X_n , а через R_n – количество выпуклых рекордов в той же последовательности. В работе [6] выведена формула, связывающая математические ожидания величин V_n и R_n для произвольного распределения векторов:

$$\mathbb{E}R_n = \sum_{i=1}^n \frac{\mathbb{E}V_i}{i}. \quad (12)$$

Следовательно, знание асимптотики среднего числа вершин выпуклой оболочки позволяет определить асимптотическое поведение количества выпуклых рекордов.

Пример 1. Рассмотрим случай нормального распределения

$$X_1, \dots, X_n$$

на плоскости. Среднее количество вершин выпуклой оболочки V_n известно (см. [11]) и асимптотически составляет

$$\mathbb{E}V_n = \sqrt{8\pi \ln(n)}(1 + o(1)). \quad (13)$$

В работе [6] с использованием соотношений (12) и (13) получена асимптотика общего количества рекордов:

$$\mathbb{E}R_n = \int_1^n \frac{\sqrt{8\pi \ln(x)}}{x} dx(1 + o(1)) = \frac{4\sqrt{2\pi}}{3}(\ln(n))^{\frac{3}{2}}(1 + o(1)). \quad (14)$$

В общем случае среднее количество вершин выпуклой оболочки $\text{conv}(X_1, \dots, X_n)$ на плоскости для сферически симметричных распределений с легкими хвостами было найдено в работе [9] (с незначительными отличиями в обозначениях и условиях; см. также [10], где при определенных условиях доказана центральная предельная теорема для среднего числа вершин). Пусть $F_R(x) = \mathbb{P}[\|X\| \leq x]$ – абсолютно непрерывная функция распределения нормы $\|X\|$. Рассмотрим

функцию $\ell(x)$, обратную к $(1 - F_R(x))^{-1}$:

$$\ell\left(\frac{1}{1 - F_R(x)}\right) = x.$$

Функция ℓ является медленно меняющейся и допускает представление Караматы (см. [12, теорема 1.3.1]):

$$\ell(x) = a(x) \exp\left(\int_{x_0}^x \frac{\varepsilon(t)}{t} dt\right), \quad (15)$$

где $a(x) \rightarrow a_0 \in (0, +\infty)$, и $\varepsilon(t) \rightarrow 0$ при $t \rightarrow +\infty$.

В дальнейшем нам понадобится следующий результат Карналя, см. [9].

Теорема (Карналь). *Пусть X_1, X_2, \dots, X_n – независимые одинаково распределенные случайные векторы со сферически симметричным распределением в \mathbb{R}^2 . Определим функцию*

$$\nu(x) = \varepsilon\left(\frac{1}{1 - F_R(x)}\right).$$

Предположим, что в представлении (15) $a(x) = a_0$, а функция $\nu(x)$ удовлетворяет следующим условиям:

- (1) $\nu(x)$ монотонно убывает при больших x ;
- (2) $x\nu'(x) \ln(\nu(x)) = o(1)$ при $x \rightarrow +\infty$;
- (3) $\nu(x) \ln(x) = o(1)$ при $x \rightarrow +\infty$.

Тогда справедливо соотношение

$$\mathbb{E} V_n \sim 2\sqrt{\frac{\pi}{\varepsilon(n)}}.$$

В принятых нами обозначениях функции $\varepsilon(x)$ и $\nu(x)$ могут быть выражены следующим образом.

Предложение 1. *В рамках наших предположений, начиная с некоторого момента мы имеем $a(x) = a_0$, а также*

$$\begin{aligned} \varepsilon(x) &= \frac{f(\ell(x))}{2\pi C_p x \ell^2(x)(1 - F(\ell(x)))g(\ell(x))} \sim \frac{f(\ell(x))}{\ell(x)}, \\ \nu(x) &= \frac{f(x)(1 - F_R(x))}{2\pi C_p x^2(1 - F(x))g(x)} \sim \frac{f(x)}{x}, \end{aligned}$$

где C_p определена в равенстве (6), а функции $f(x)$ и $g(x)$ – в равенстве (4). Следовательно, при выполнении условий на функцию ν , имеет место соотношение

$$\mathbb{E} V_n \sim \sqrt{\frac{4\pi\ell(n)}{f(\ell(n))}}. \quad (16)$$

Совместно с (12) и (15), данный результат позволяет оценить среднее количество рекордов для рассматриваемых распределений:

$$\mathbb{E} R_n \sim \sum_{i=1}^n \sqrt{\frac{4\pi\ell(i)}{f(\ell(i))}}.$$

Заметим, что константы b_n и a_n из теорем 1 и 2 соотносятся как $a_n = f(b_n)$. Как будет показано далее, во многих случаях справедливо соотношение

$$\frac{f(\ell(n))}{\ell(n)} \sim \frac{a_n}{b_n}.$$

Вопрос о справедливости данного асимптотического равенства в общем случае остается открытым.

Замечание 3. При наложенных условиях функция $\ell(n)$ должна удовлетворять соотношению

$$2\pi C_p n \ell(n) (1 - F(\ell(n))) \rightarrow 1 \quad \text{при } n \rightarrow +\infty. \quad (17)$$

Это соотношение аналогично результату леммы 1. Доказательство данного факта приведено в п. 8.2.

Представляет интерес оценка количества вершин выпуклой оболочки, расположенных выше определенного уровня. Определим случайную меру:

$$\begin{aligned} \bar{\mu}_n &= \sqrt{\frac{a_n}{b_n}} \sum_{i=1}^n \delta \left\{ \left(\frac{R_i - b_n}{a_n}, \varphi_i \right) \right\} \\ &\times \mathbf{1}\{X_i \text{ вершина выпуклой оболочки } \text{conv}(X_1, \dots, X_n)\}. \end{aligned}$$

где (R_i, φ_i) – полярные координаты X_i .

Теорема 3. Пусть X_1, X_2, X_3, \dots – независимые одинаково распределенные случайные векторы в \mathbb{R}^2 , удовлетворяющие условиям §2. Тогда

$$\mathbb{E}\bar{\mu}_n(h) \rightarrow \bar{\mu}_0(h) = \sqrt{\frac{1}{2\pi}} \int_0^{2\pi} \int_{-\infty}^{+\infty} h(z, \psi) \bar{g}(z) dz d\psi$$

для всех непрерывных функций $h: (-\infty, +\infty] \times [0, 2\pi] \rightarrow \mathbb{R}_+$ с компактным носителем. Функция $\bar{g}(z)$ определяется выражением

$$\bar{g}(z) = \sqrt{\frac{2}{\pi}} \int_0^{+\infty} \int_0^{+\infty} l \exp\left(-2z - \theta l - \frac{l^2}{2} - e^{-z+\frac{\theta^2}{2}}\right) dl d\theta + e^{-z-e^{-z}}.$$

Замечание 4. Рассмотрим функцию

$$h_s(r, \varphi) = \begin{cases} 1 & \text{при } r > s, \\ 0 & \text{иначе.} \end{cases}$$

Можно показать, что $\bar{\mu}_0(h_s) \rightarrow \sqrt{4\pi}$ при $s \rightarrow -\infty$. Это означает, что при выполнении условий из §2 и условий теоремы Карналя мы имеем

$$\liminf_{n \rightarrow \infty} \left(\frac{f(\ell(n))}{\ell(n)} / \frac{a_n}{b_n} \right) \geq 1.$$

Кроме того, если

$$\frac{f(\ell(n))}{\ell(n)} \sim \frac{a_n}{b_n},$$

то можно заключить, что при больших n основная часть вершин выпуклой оболочки находится на выбранном уровне. Подробности приведены в п. 8.3.

§5. ЧАСТНЫЕ СЛУЧАИ

Приведем ряд примеров распределений, удовлетворяющих условиям наших утверждений. Воспользуемся следующим известным результатом (см. [4, предложение 1.1]).

Пусть функция F абсолютно непрерывна и дважды дифференцируема в некоторой окрестности $+\infty$. Если $F''(x) < 0$ в некоторой окрестности $+\infty$ и

$$\lim_{x \rightarrow +\infty} \frac{F''(x)(1 - F(x))}{(F'(x))^2} = -1, \quad (18)$$

то F принадлежит области притяжения распределения Гумбеля и представима в виде (4), где

$$\begin{aligned} c(x) &= c > 0, \\ g(x) &= 1, \\ f(x) &= \frac{1 - F(x)}{F'(x)}. \end{aligned}$$

Данное утверждение позволяет эффективно проверять необходимые условия для дважды дифференцируемых функций распределения с монотонной плотностью.

Пример 2. Стандартное нормальное распределение на прямой имеет плотность

$$p(x) = F'(x) = \frac{1}{\sqrt{2\pi}} e^{-\frac{x^2}{2}}.$$

Формально функция $p(x)$ должна быть определена только на положительной оси, поэтому для сохранения вероятностной нормировки требуется домножить функцию $p(x)$ на 2, однако это не играет роли из-за дальнейшей автоматической перенормировки при вычислении значения C_p . Плотность $p(x)$ удовлетворяет условию (18) и допускает представление вида (4) с функцией $g(x) = 1$ и функцией $f(x)$, удовлетворяющей соотношению

$$f(t) = \frac{1 - F(t)}{F'(t)} \sim \frac{p(t)/t}{p(t)} = \frac{1}{t} \text{ при } t > 0.$$

Известно, что константы α_n, β_n из соотношений (5) могут быть выбраны следующим образом (см., например, [4, §1.5, пример 2]):

$$\begin{aligned} \beta_n &= \sqrt{2 \ln(n)} - \frac{\ln(\ln(n)) + \ln(4\pi)}{2\sqrt{2 \ln(n)}}, \\ \alpha_n &= \frac{1}{\sqrt{2 \ln(n)}}. \end{aligned}$$

Проекция двумерного нормального распределения $\mathcal{N}(0, I)$ на прямую имеет распределение $\mathcal{N}(0, 1)$, поэтому в качестве a_n и b_n можно взять α_n и β_n соответственно. Тогда количество рекордов, находящихся выше уровня $a_n s + b_n$, имеет порядок

$$\sqrt{\frac{b_n}{a_n}} \sim \sqrt{2 \ln(n)}.$$

В примере 1 также было получено среднее число рекордов. Сравнивая с результатом примера 1, можно заметить, что

$$\frac{a_n}{b_n} \sim \frac{f(\ell(n))}{\ell(n)}.$$

Пример 3. Рассмотрим плотность $p(x) = e^{-x^\rho}$. Как и в предыдущем примере, $p(x)$ не является вероятностной плотностью, однако, как отмечалось, это не играет значения из-за дальнейшей автоматической перенормировки при вычислении C_p .

С помощью правила Лопитала получаем соотношение

$$1 - F(x) \sim \frac{e^{-x^\rho}}{\rho x^{\rho-1}} \text{ при } x \rightarrow +\infty.$$

Легко проверяется выполнение соотношения (18), следовательно, в формуле (4) можно положить

$$f(x) = \frac{1 - F(x)}{F'(x)} \sim \frac{1}{\rho x^{\rho-1}}.$$

При $\rho \geq 1$ данная функция удовлетворяет условию (8). В качестве последовательности b_n в выражении (11) можно выбрать

$$b_n = \ln(n)^{\frac{1}{\rho}} \left(1 - \frac{(3\rho - 4) \ln(\ln(n))}{2\rho^2 \ln(n)} - \frac{\ln(\rho^3) - \ln(2\pi C_p^2)}{2\rho \ln(n)} \right),$$

где

$$\frac{1}{C_p} = 2\pi \int_0^{+\infty} r e^{-r^\rho} dr = \frac{2\pi}{\rho} \Gamma\left(\frac{2}{\rho}\right).$$

Действительно,

$$C_p n (1 - F(b_n)) \sqrt{2\pi b_n f(b_n)} \sim \frac{\sqrt{2\pi} C_p n e^{-b_n^\rho}}{\rho b_n^{\rho-1}} \sqrt{\frac{b_n}{\rho b_n^{\rho-1}}}.$$

Логарифмируя это выражение, получаем условие

$$\ln(n) - b_n^\rho + \frac{1}{2} \ln\left(\frac{2\pi C_p^2}{\rho^3}\right) - \frac{3\rho - 4}{2} \ln(b_n) \rightarrow 0.$$

Полагая

$$b_n^\rho = \ln(n)(1 + \gamma_n),$$

получаем

$$-\ln(n)\gamma_n + \frac{1}{2} \ln \left(\frac{2\pi C_p^2}{\rho^3} \right) - \frac{3\rho-4}{2\rho} \ln(\ln(n)) - \frac{3\rho-4}{2\rho} \ln(1+\gamma_n) \rightarrow 0.$$

Выберем γ_n удовлетворяющим соотношению

$$\gamma_n = \frac{1}{\ln(n)} \left(\frac{1}{2} \ln \left(\frac{2\pi C_p^2}{\rho^3} \right) - \frac{3\rho-4}{2\rho} \ln(\ln(n)) + o(1) \right).$$

Тогда

$$b_n = \ln(n)^{\frac{1}{\rho}} (1 + \gamma_n)^{\frac{1}{\rho}} = \ln(n)^{\frac{1}{\rho}} \left(1 + \frac{\gamma_n}{\rho} + o\left(\frac{1}{\ln(n)}\right) \right).$$

Это означает, что

$$\sqrt{\frac{b_n}{a_n}} = \sqrt{\frac{b_n}{f(b_n)}} \sim \sqrt{\rho \ln(n)}.$$

Данный пример также удовлетворяет условиям теоремы Карналя (см. §4). Аналогичные рассуждения применительно к соотношению (17) дают

$$\ell(n) = \ln(n)^{\frac{1}{\rho}} \left(1 - \frac{(\rho-2) \ln(\ln(n))}{\rho^2 \ln(n)} + \frac{\ln(2\pi C_p)}{\rho \ln(n)} + o\left(\frac{1}{\ln(n)}\right) \right).$$

Это позволяет заключить, что

$$\begin{aligned} \mathbb{E} V_n &\sim \sqrt{4\pi\rho \ln(n)}, \\ \mathbb{E} R_n &\sim \frac{4\sqrt{\pi\rho}}{3} (\ln(n))^{\frac{3}{2}}. \end{aligned}$$

Пример 4. Рассмотрим плотность гамма-распределения

$$p(x) = F'(x) = \frac{x^\gamma e^{-x}}{\Gamma(\gamma+1)}.$$

В [4, §1.5, пример 3] показано, что условие (18) в этом случае выполнено. Функция $f(x)$ удовлетворяет соотношению

$$f(x) = \frac{1 - F(x)}{F'(x)} \sim \frac{-F'(x)}{F''(x)} \sim 1.$$

По аналогии с примером 3 и одномерным случаем (см. [4, §1.5, пример 3]), используя соотношение (11), можно выбрать

$$b_n = \ln(n) + (\gamma + 1/2) \ln(\ln(n)) + \ln \left(\frac{\sqrt{2\pi}}{\Gamma(\gamma + 2)} \right),$$

$$a_n = 1.$$

Тогда количество рекордов выше уровня $a_n s + b_n$ вновь имеет порядок $\sqrt{\ln(n)}$.

В работе [9] показано, что такие функции распределения подпадают под условия теоремы Карналя. Кроме того, с помощью соотношения (17) проверяется, что

$$\ell(n) = \ln(n) + (\gamma + 1) \ln(\ln(n)) - \ln(\Gamma(\gamma + 2)) + o(1),$$

$$f(\ell(n)) \sim 1,$$

откуда вытекает соотношение

$$\frac{\ell(n)}{f(\ell(n))} \sim \frac{b_n}{a_n} \sim \ln(n).$$

Это позволяет утверждать, что

$$\mathbb{E} V_n \sim \sqrt{4\pi \ln(n)},$$

$$\mathbb{E} R_n \sim \frac{4\sqrt{\pi}}{3} (\ln(n))^{\frac{3}{2}}.$$

Из предыдущих примеров может сложиться впечатление, что при рассматриваемых нами условиях количество рекордов всегда составляет $O(\sqrt{\ln(n)})$, однако это не так.

Пример 5. Рассмотрим плотность $p(x) = e^{-e^x}$. Используя правило Лопиталя, получаем

$$1 - F(x) \sim e^{-e^x} e^{-x}.$$

Условие (18) выполнено, и $f(x) \sim e^{-x}$. Аналогично примеру 3, можно выбрать

$$b_n = \ln \ln(n) + \frac{-3 \ln \ln(n) + \ln \ln \ln(n) + \ln(2\pi C_p^2)}{2 \ln(n)},$$

$$\ell(n) = \ln(\ln(n)) - \frac{\ln(\ln(n))}{\ln(n)} + o\left(\frac{\ln(\ln(n))}{\ln(n)}\right).$$

Тогда

$$\frac{b_n}{a_n} = \frac{b_n}{f(b_n)} \sim \ln \ln(n) \ln(n) \sim \frac{\ell(n)}{f(\ell(n))}.$$

Данный пример удовлетворяет условиям теоремы Карналя, и благодаря соотношениям (16) и (12) получаем

$$\begin{aligned} \mathbb{E} V_n &\sim \sqrt{4\pi \ln(n) \ln(\ln(n))}, \\ \mathbb{E} R_n &\sim \int_1^n \frac{\sqrt{4\pi \ln(x) \ln(\ln(x))}}{x} dx \sim \frac{4\sqrt{\pi \ln(\ln(n))}}{3} (\ln(n))^{\frac{3}{2}}. \end{aligned}$$

Замечание 5. Асимптотический порядок $\mathbb{E} R_n$ в приведенных примерах варьируется. Это отличает рассматриваемую ситуацию от одномерного случая, где для непрерывных функций распределения среднее количество рекордов всегда имеет порядок $\ln(n)$, что влечет эквивалентность $\mathbb{E} R_n \sim 2 \ln(n)$ (с учетом максимальных и минимальных рекордов).

§6. Одномерный случай

В одномерном случае также возможно оценить количество выпуклых рекордов в заданной области. В этой ситуации понятия выпуклых и центрально выпуклых рекордов совпадают и определяют множество минимальных и максимальных рекордов. Рассмотрим меру

$$\tilde{\mu}_n^\lambda = \sum_{i=1}^{\tau(T_\lambda(n))} \delta \left\{ \left(\frac{X_{L(i)} - \beta_n}{\alpha_n} \right) \right\}, \quad (19)$$

где $L(i)$ определены так же, как в равенстве (1), но в одномерном случае, последовательности $T_\lambda(n)$ и $\tau(n)$ заданы так же, как в §3, а константы α_n, β_n взяты из соотношений (5). Справедливо следующее утверждение.

Предложение 2. *Предположим, что случайные величины X_1, \dots, X_n независимы и имеют функцию распределения F , удовлетворяющую условиям А1–А3 из §2. Тогда*

$$\mathbb{E} \tilde{\mu}_n^\lambda(h) \sim \int_{-\infty}^{+\infty} h(z) (1 - e^{-\lambda e^{-z}}) dz \text{ при } n \rightarrow +\infty$$

для всех $h \in C_K((-\infty, +\infty])$ (положительных, непрерывных, ограниченных с носителем, отделенным от $-\infty$). В случае $\lambda = +\infty$, сходимость имеет место для всех функций $h \in C_K((-\infty, +\infty))$ (положительных, непрерывных, ограниченных с компактным носителем).

Замечание 6. Данное соотношение также справедливо для среднего количества рекордов. Кроме того, в одномерном случае не требуется симметричность распределения.

Если $\lambda = +\infty$ и $T_\lambda(n) = +\infty$, то, согласно (3), в пределе должен получаться пуассоновский точечный процесс с мерой интенсивности 1, что согласуется с полученным результатом. Результаты для прочих $T_\lambda(n)$, вероятно, известны, однако они не встречались нам в литературе, и мы приводим их здесь для полноты картины.

§7. ПРЕДВАРИТЕЛЬНЫЕ СВЕДЕНИЯ

7.1. Сходимость к распределению Гумбеля в одномерном случае. Рассмотрим функцию распределения F вида (4). Для всех $x \in \mathbb{R}$ она удовлетворяет соотношению

$$\lim_{t \rightarrow +\infty} \frac{1 - F(t + xf(t))}{1 - F(t)} = e^{-x} \quad (20)$$

(см. [4, предложения 1.1 и 1.4, следствие 1.7]). Такая функция распределения удовлетворяет условию (2) с функцией $G(x) = e^{-e^{-x}}$ и нормировочными константами, заданными условиями (5). Это влечет выполнение следующих двух предельных соотношений (одно получается логарифмированием другого):

$$\begin{aligned} F^n(\alpha_n x + \beta_n) &\rightarrow e^{-e^{-x}}, \\ n(1 - F(\alpha_n x + \beta_n)) &\rightarrow e^{-x}. \end{aligned} \quad (21)$$

Согласно [4, лемма 1.3], функция f из представления (4) при всех $x \in \mathbb{R}$ удовлетворяет соотношению

$$\lim_{t \rightarrow +\infty} \frac{f(t + f(t)x)}{f(t)} = 1. \quad (22)$$

Сходимость (22) является локально равномерной по $x \in \mathbb{R}$. Кроме того, согласно представлению (4), выполнено

$$\lim_{t \rightarrow +\infty} \frac{f(t)}{t} = \lim_{t \rightarrow +\infty} \frac{f'(t)}{1} = 0. \quad (23)$$

Следующая лемма связывает скорости убывания функции $f(x)$ и функции $1 - F(x)$.

Лемма (см. [5, лемма 2], [4, упражнение 2.2.1]). *Предположим, что функция F имеет вид (4) и удовлетворяет условию А1. Тогда существует число t_0 , такое что для любого $x > 0$ и любого $t > t_0$ справедливо неравенство*

$$\begin{aligned} (1 - \varepsilon) \left[\frac{1 - F(t)}{1 - F(t + xf(t))} \right]^{-\varepsilon} &\leq \frac{f(t + xf(t))}{f(t)} \\ &\leq (1 + \varepsilon) \left[\frac{1 - F(t)}{1 - F(t + xf(t))} \right]^\varepsilon, \end{aligned} \quad (24)$$

а при $x < 0, t + xf(t) > t_0$ выполнено

$$\begin{aligned} (1 - \varepsilon) \left[\frac{1 - F(t)}{1 - F(t + xf(t))} \right]^\varepsilon &\leq \frac{f(t + xf(t))}{f(t)} \\ &\leq (1 + \varepsilon) \left[\frac{1 - F(t)}{1 - F(t + xf(t))} \right]^{-\varepsilon}. \end{aligned} \quad (25)$$

7.2. Формула Бляшке–Петканчина. Обозначим через κ_d объем d -мерного единичного шара, а через $\omega_d = d\kappa_d$ – площадь поверхности $(d - 1)$ -мерной сферы в \mathbb{R}^d . Пусть $A_{d,l}$ – множество всех l -мерных аффинных подпространств E в \mathbb{R}^d , снабженное инвариантной относительно движений мерой Хаара $\mu_{d,l}$, нормированной так, что мера подпространств, пересекающих d -мерный единичный шар B_d , равна κ_{d-l} . Существование и единственность такой меры известны (см., например, [23, теорема 13.2.12]). В дальнейшем нам понадобится следующее утверждение (см. [23, теорема 7.2.7]).

Теорема (Формула Бляшке–Петканчина). *Пусть $f: (\mathbb{R}^d)^{l+1} \rightarrow \mathbb{R}$ – неотрицательная измеримая функция, где $l \in \{1, \dots, d\}$. Тогда*

$$\begin{aligned} &\int_{(\mathbb{R}^d)^{l+1}} f(x_0, \dots, x_l) dx_0 \dots dx_l \\ &= (l!)^d b_{d,l} \int_{A_{d,l}} \int_{E^{l+1}} f(x_0, \dots, x_l) \\ &\quad \times |\text{conv}(x_0, \dots, x_l)|^{d-l} \lambda_E(dx_0) \dots \lambda_E(dx_l) \mu_{d,l}(dE), \end{aligned}$$

где $b_{d,l} = \frac{\omega_{d-l+1} \cdots \omega_d}{\omega_1 \cdots \omega_l}$, а $|\text{conv}(x_0, \dots, x_l)|$ – l -мерный объем выпуклой оболочки $\text{conv}(x_0, \dots, x_l)$.

§8. ДОКАЗАТЕЛЬСТВА

8.1. Предельное поведение рекордов. Предварительно докажем техническую лемму.

Лемма 2. *Пусть ε_0 – константа из условия А3. Тогда для любого положительного $\varepsilon_1 < \varepsilon_0$ и вещественного M_1 существуют $N = N(\varepsilon_1, M_1)$ и $C = C(\varepsilon_1, M_1) > 0$, такие что при $y > N$ и $\delta > M_1$ выполняется неравенство*

$$\frac{1 - F(y + f(y)\delta)}{1 - F(y)} \leq C \exp(-\varepsilon_1 \delta).$$

Доказательство. Рассмотрим случай $\delta > 0$. Согласно представлению (4) и условию А1, справедливо равенство

$$\frac{1 - F(y + f(y)\delta)}{1 - F(y)} = \exp \left(- \int_y^{y + f(y)\delta} \frac{g(u)}{f(u)} du \right).$$

Согласно теореме о среднем, существует такое $z \in (y, y + f(y)\delta)$, что

$$\int_y^{y + f(y)\delta} \frac{g(u)}{f(u)} du = \frac{f(y)\delta g(z)}{f(z)}.$$

В силу условия (8) существует N_1 , такое что при $y > N_1$ выполнено

$$\frac{f(y)}{f(z)} > \frac{\varepsilon_1 + \varepsilon_0}{2}.$$

Кроме того, из соотношения (4) следует существование N_2 , такого что при $z > N_2$ выполнено

$$g(z) > \frac{2\varepsilon_1}{\varepsilon_1 + \varepsilon_0}.$$

Тогда при $y > N = \max(N_1, N_2)$ имеем

$$\frac{f(y)\delta g(z)}{f(z)} > \varepsilon_1 \delta,$$

что влечет

$$\frac{1 - F(y + f(y)\delta)}{1 - F(y)} < \exp(-\varepsilon_1\delta).$$

Если $M_1 < 0$, то при $\delta \in [M_1, 0]$ и некотором $C > 1$ выполнено

$$\frac{1 - F(y + f(y)\delta)}{1 - F(y)} \leq \frac{1 - F(y + f(y)M_1)}{1 - F(y)} < C \leq C \exp(-\varepsilon_1\delta). \quad (26)$$

Заметим, что соотношение (20) влечет

$$\frac{1 - F(y + f(y)M_1)}{1 - F(y)} \rightarrow e^{-M_1}$$

при $y \rightarrow +\infty$, следовательно, данное выражение ограничено, и константа C в выражении (26) действительно существует. Лемма доказана. \square

Перейдем к доказательству леммы 1.

Доказательство леммы 1. Исследуем поведение функции $1 - \Phi(s)$ при $s \rightarrow +\infty$. Имеем:

$$\begin{aligned} n(1 - \Phi(s)) &= C_p n \int_{-\frac{\pi}{2}}^{\frac{\pi}{2}} \int_{\frac{s}{\cos(\phi)}}^{+\infty} r p(r) dr d\phi \\ &= 2C_p n \int_0^{\frac{\pi}{2}} \left[\frac{s}{\cos(\phi)} \left(1 - F\left(\frac{s}{\cos(\phi)}\right) \right) + \int_{\frac{s}{\cos(\phi)}}^{+\infty} (1 - F(r)) dr \right] d\phi. \end{aligned}$$

Первое равенство получено переходом к полярным координатам, второе – интегрированием по частям. Рассмотрим интеграл от первого слагаемого и покажем его эквивалентность

$$\sqrt{2\pi} C_p n (1 - F(s)) \sqrt{sf(s)}$$

при $s \rightarrow +\infty$. С этой целью произведем замену переменной

$$s + f(s)y = \frac{s}{\cos \phi},$$

где функция $f(s)$ определена в равенстве (20). Тогда

$$\phi = \arccos\left(\frac{s}{s + f(s)y}\right).$$

Получаем

$$\begin{aligned}
2C_p n \int_0^{\frac{\pi}{2}} \frac{s}{\cos(\phi)} \left(1 - F\left(\frac{s}{\cos(\phi)}\right)\right) d\phi &= 2C_p n \int_0^{+\infty} (s + f(s)y) \\
&\times (1 - F(s + f(s)y)) \frac{1}{\sqrt{1 - \left(\frac{s}{s + f(s)y}\right)^2}} \frac{sf(s)}{(s + f(s)y)^2} dy \\
&= \sqrt{2}C_p n(1 - F(s))\sqrt{sf(s)} \\
&\times \int_0^{+\infty} \frac{1 - F(s + f(s)y)}{1 - F(s)} \frac{1}{\sqrt{y}} \frac{1}{\sqrt{1 + \frac{f(s)y}{2s}}} dy. \tag{27}
\end{aligned}$$

Согласно соотношению (20), первый множитель под интегралом стремится к e^{-y} , а согласно свойству (23), второй множитель стремится к 1. При обосновании предельного перехода под знаком интеграла, данное выражение при $s \rightarrow +\infty$ эквивалентно

$$\sqrt{2}C_p n(1 - F(s))\sqrt{sf(s)} \int_0^{+\infty} \frac{e^{-y}}{\sqrt{y}} dy = C_p \sqrt{2\pi} n(1 - F(s))\sqrt{sf(s)}. \tag{28}$$

Третий множитель ограничен сверху единицей, а первый оценивается по лемме 2. Получена суммируемая мажоранта, следовательно, согласно теореме Лебега о мажорируемой сходимости, возможен предельный переход под знаком интеграла. Рассмотрим второе слагаемое и покажем, что

$$2C_p \int_0^{\frac{\pi}{2}} \int_{\frac{s}{\cos(\phi)}}^{+\infty} (1 - F(r)) dr d\phi = o \left(\int_0^{\frac{\pi}{2}} \frac{s}{\cos(\phi)} \left(1 - F\left(\frac{s}{\cos(\phi)}\right)\right) d\phi \right). \tag{29}$$

Заметим, что

$$\begin{aligned}
\int_k^{+\infty} (1 - F(r)) dr &= \int_0^{+\infty} (1 - F(k + yf(k)))f(k) dy \\
&= f(k)(1 - F(k)) \int_0^{+\infty} \frac{1 - F(k + yf(k))}{1 - F(k)} dy.
\end{aligned}$$

Аналогично (27), подынтегральная функция по лемме 2 ограничивается сверху суммируемой функцией, поэтому при $k \rightarrow +\infty$ выполнено

$$\int_k^{+\infty} (1 - F(r)) dr \sim f(k)(1 - F(k)) \int_0^{+\infty} e^{-y} dy = f(k)(1 - F(k)).$$

Следовательно, существует константа $C_1 > 0$, такая что начиная с некоторого момента выполнено неравенство

$$\int_k^{+\infty} (1 - F(r)) dr < C_1 f(k)(1 - F(k)).$$

Отсюда получаем

$$\int_0^{\frac{\pi}{2}} \int_{\frac{s}{\cos(\phi)}}^{+\infty} (1 - F(r)) dr d\phi \leq C_1 \int_0^{\frac{\pi}{2}} f\left(\frac{s}{\cos(\phi)}\right) \left(1 - F\left(\frac{s}{\cos(\phi)}\right)\right) d\phi.$$

Согласно равенству (23),

$$f\left(\frac{s}{\cos(\phi)}\right) = o\left(\frac{s}{\cos(\phi)}\right),$$

что влечет соотношение (29). Выберем последовательность

$$b_n = \left(\frac{1}{1 - \Phi}\right)^{\leftarrow} (n(1 + o(1))).$$

Поскольку носитель функции $1 - F(x)$ не ограничен на бесконечности, носитель функции $1 - \Phi(x)$ также не ограничен. Отсюда следует стремление последовательности b_n к бесконечности. Таким образом,

$$1 \sim n(1 - \Phi(b_n)) \sim C_p \sqrt{2\pi} n(1 - F(b_n)) \sqrt{b_n f(b_n)}. \quad (30)$$

Положим $a_n = f(b_n)$ и проверим выполнение условия

$$n(1 - \Phi(a_n x + b_n)) \rightarrow e^{-x} \quad \text{при } n \rightarrow +\infty. \quad (31)$$

Согласно (21), это условие эквивалентно сходимости максимумов к закону Гумбеля. Действительно, согласно (28) и (29), выполнено

$$\begin{aligned} n(1 - \Phi(a_n x + b_n)) &\sim C_p \sqrt{2\pi} n(1 - F(a_n x + b_n)) \sqrt{(a_n x + b_n) f(a_n x + b_n)} \\ &= \frac{(1 - F(a_n x + b_n))}{(1 - F(b_n))} \sqrt{\left(\frac{a_n x}{b_n} + 1\right) \frac{f(a_n x + b_n)}{f(b_n)}} \\ &\times \sqrt{2\pi} C_p n(1 - F(b_n)) \sqrt{b_n f(b_n)} \sim e^{-x}, \end{aligned}$$

где последнее соотношение следует из (20), (22), (23) и (30). Лемма доказана. \square

Следующая лемма устанавливает справедливость теоремы 2 для конечных λ .

Лемма 3. *Пусть $\lambda \in (0, +\infty)$ и $h(\delta, \varphi)$ – непрерывная ограниченная функция, $\text{supp } h \subseteq [M, +\infty) \times [0, 2\pi]$. Тогда*

$$\mathbb{E} \widehat{\mu}_n^\lambda(h) \sim \sqrt{\frac{1}{2\pi} \int_0^{2\pi} \int_{-\infty}^{+\infty} h(\delta, \varphi) \left(1 - e^{-\lambda e^{-\delta}}\right) d\delta d\varphi}. \quad (32)$$

Доказательство. Имеем:

$$\begin{aligned} \mathbb{E} \widehat{\mu}_n^\lambda(h) &= \sqrt{\frac{a_n}{b_n} \sum_{i=1}^{T_\lambda(n)} \int_{\mathbb{R}^2} h\left(\frac{\|x\| - b_n}{a_n}\right) C_p p(\|x\|)} \\ &\times \mathbb{P}[X_i \text{ центрально выпуклый рекорд} \mid X_i = x] dx \\ &= C_p \sqrt{\frac{a_n}{b_n} \int_{\mathbb{R}^2} h\left(\frac{\|x\| - b_n}{a_n}\right) p(\|x\|)} \\ &\times \left[\frac{1 - \Phi(\|x\|)^{T_\lambda(n)}}{1 - \Phi(\|x\|)} + \frac{1 - (1 - \Phi(\|x\|))^{T_\lambda(n)}}{\Phi(\|x\|)} \right] dx, \end{aligned} \quad (33)$$

где $\Phi(x)$ определена в (9). Слагаемое

$$\frac{1 - \Phi(\|x\|)^{T_\lambda(n)}}{1 - \Phi(\|x\|)}$$

соответствует случаю, когда прямая, ортогональная вектору x , оставляет начало координат в той же полуплоскости, что и векторы

x_1, \dots, x_{i-1} , а слагаемое

$$\frac{1 - (1 - \Phi(\|x\|))^{T_\lambda(n)}}{\Phi(\|x\|)}$$

отвечает случаю, когда данная прямая разделяет начало координат и векторы x_1, \dots, x_{i-1} . Сделаем замену переменных $x \rightarrow (s, \varphi)$, где $(a_n s + b_n, \varphi)$ – полярные координаты вектора x . Тогда можно продолжить (33) как

$$\begin{aligned} \mathbb{E} \hat{\mu}_n^\lambda(h) &= C_p a_n \sqrt{\frac{a_n}{b_n}} \int_0^{2\pi} \int_{-\frac{b_n}{a_n}}^{+\infty} h(s, \varphi) p(a_n s + b_n) (a_n s + b_n) \\ &\quad \times \left[\frac{1 - \Phi(a_n s + b_n)^{T_\lambda(n)}}{1 - \Phi(a_n s + b_n)} + \frac{1 - (1 - \Phi(a_n s + b_n))^{T_\lambda(n)}}{\Phi(a_n s + b_n)} \right] ds d\varphi \\ &= \frac{C_p n a_n b_n (1 - F(b_n)) \sqrt{a_n}}{f(b_n) \sqrt{b_n}} \int_0^{2\pi} \int_{-\frac{b_n}{a_n}}^{+\infty} h(s, \varphi) \frac{1 - F(a_n s + b_n)}{1 - F(b_n)} \\ &\quad \times g(a_n s + b_n) \frac{f(b_n)}{f(a_n s + b_n)} \left(\frac{a_n s}{b_n} + 1 \right) \\ &\quad \times \left[\frac{1 - \Phi(a_n s + b_n)^{T_\lambda(n)}}{n(1 - \Phi(a_n s + b_n))} + \frac{1 - (1 - \Phi(a_n s + b_n))^{T_\lambda(n)}}{n \Phi(a_n s + b_n)} \right] ds d\varphi. \quad (34) \end{aligned}$$

Последнее равенство получено с использованием соотношения (7). Согласно соотношениям (4), (20)–(23) и лемме 1, справедливы следующие предельные соотношения:

$$\begin{aligned} \frac{1 - F(a_n s + b_n)}{1 - F(b_n)} &= \frac{1 - F(f(b_n)s + b_n)}{1 - F(b_n)} \rightarrow e^{-s}, \quad g(a_n s + b_n) \rightarrow 1, \\ \frac{f(a_n s + b_n)}{f(b_n)} &= \frac{f(f(b_n)s + b_n)}{f(b_n)} \rightarrow 1, \quad \frac{b_n}{a_n} = \frac{b_n}{f(b_n)} \rightarrow +\infty, \\ \frac{1 - \Phi(a_n s + b_n)^{T_\lambda(n)}}{n(1 - \Phi(a_n s + b_n))} &\rightarrow \frac{1 - e^{-\lambda e^{-s}}}{e^{-s}}, \\ \frac{1 - (1 - \Phi(a_n s + b_n))^{T_\lambda(n)}}{n \Phi(a_n s + b_n)} &\leq \frac{2}{n} \rightarrow 0. \end{aligned}$$

Кроме того, по лемме 1,

$$\frac{C_p n a_n b_n (1 - F(b_n)) \sqrt{a_n}}{f(b_n) \sqrt{b_n}} \sim \frac{1}{\sqrt{2\pi}}.$$

Переходя к пределу при $n \rightarrow +\infty$ под знаком интеграла в равенстве (34), получаем правую часть формулы (32). Для обоснования перехода под знаком интеграла построим суммируемую мажоранту и воспользуемся теоремой о мажорируемой сходимости. Функция $g(x)$ стремится к 1 при $x \rightarrow +\infty$ и непрерывна, следовательно, она равномерно ограничена сверху при $x > 0$. Заметим также, что

$$\frac{1 - (1 - \Phi(a_n s + b_n))^n}{n \Phi(a_n s + b_n)} \leq \frac{2}{n} \leq 2,$$

и

$$\begin{aligned} \frac{1 - \Phi(a_n s + b_n)^{T_\lambda(n)}}{n(1 - \Phi(a_n s + b_n))} &= \frac{1}{n} \left(1 + \Phi(a_n s + b_n) + \dots + \Phi(a_n s + b_n)^{T_\lambda(n)-1} \right) \\ &\leq \frac{T_\lambda(n)}{n}. \end{aligned}$$

Поскольку $\lambda < +\infty$, величина $T_\lambda(n)/n$ ограничена сверху некоторой константой. Частное a_n/b_n стремится к нулю в силу свойства (23), следовательно, начиная с некоторого момента выполняется неравенство $a_n/b_n < 1$. Функция h также ограничена сверху константой.

Тогда из (24) следует, что при $s > 0$ интеграл в (34) оценивается сверху как

$$\begin{aligned} O(1) \int_0^{2\pi} \int_0^{+\infty} \frac{1}{1 - \varepsilon} \left(\frac{1 - F(a_n s + b_n)}{1 - F(b_n)} \right)^{1-\varepsilon} (s+1) \, ds \, d\varphi \\ \leq O(1) \int_0^{2\pi} \int_0^{+\infty} \frac{C(\varepsilon_1)^{1-\varepsilon}}{1 - \varepsilon} \exp(-\varepsilon_1 s(1 - \varepsilon)) (s+1) \, ds \, d\varphi, \end{aligned}$$

причем данная оценка выполняется поточечно для подынтегральных выражений. Правая часть оценки следует из леммы 2. Полученная функция не зависит от n , а при $\varepsilon_1(1 - \varepsilon) > 0$ этот интеграл сходится.

Оценим теперь (34) при $s < 0$. При $s < M$ выполнено $h(s, \varphi) = 0$, поэтому и подынтегральная функция равна нулю. При $M < s < 0$ имеем

$$0 < \left(\frac{a_n}{b_n} s + 1 \right) < 1.$$

Тогда в силу леммы 2 и неравенства (25), при $s < 0$ и $b_n + a_n M > t_0$ интеграл в (34) оценивается сверху как

$$\begin{aligned} O(1) \int_0^{2\pi} \int_M^0 \frac{1}{1-\varepsilon} \left(\frac{1-F(a_n s + b_n)}{1-F(b_n)} \right)^{1+\varepsilon} ds d\varphi \\ \leq O(1) \int_0^{2\pi} \int_0^{+\infty} \frac{C_1(\varepsilon_1, M)^{1-\varepsilon}}{1-\varepsilon} \exp(-\varepsilon_1 s(1+\varepsilon)) ds d\varphi, \end{aligned}$$

причем данная оценка выполняется поточечно для подынтегральных выражений. Выбирая $0 < \varepsilon < 1$ и произвольное ε_1 из леммы 2, получаем суммируемую мажоранту. Лемма 3 доказана. \square

Аналогичное утверждение справедливо для выпуклых рекордов.

Лемма 4. *Пусть $\lambda \in (0, +\infty)$ и $h(\delta, \varphi)$ – непрерывная ограниченная функция, $\text{supp } h \subseteq [M, +\infty) \times [0, 2\pi]$. Тогда*

$$\mathbb{E} \mu_n^\lambda(h) \sim \frac{1}{\sqrt{2\pi}} \int_0^{2\pi} \int_{-\infty}^{+\infty} h(z, \psi) g_\lambda(z) dz d\psi, \quad (35)$$

где

$$\begin{aligned} g_\lambda(z) = & 1 - e^{-\lambda e^{-z}} + \sqrt{\frac{2}{\pi}} \int_0^{+\infty} \int_0^{+\infty} \exp\left(-\theta^2 - \theta l - \frac{l^2}{2}\right) l \\ & \times \left(1 - \left[\exp\left(-\lambda \exp\left(-z + \frac{\theta^2}{2}\right)\right) \left(1 + e^{-z + \frac{\theta^2}{2}}\right)\right]\right) dl d\theta. \end{aligned}$$

Доказательство. Пусть X_i – выпуклый рекорд в момент i . Это означает, что X_i является вершиной многоугольника $P_i = \text{conv}(X_1, \dots, X_i)$. Тогда X_i либо является центрально выпуклым рекордом, либо прямая l_i , проходящая через X_i перпендикулярно вектору X_i , не является опорной. Во втором случае стороны P_i , содержащие X_i , находятся по разные стороны от прямой l_i . Пусть X_j – соседняя с X_i по стороне вершина P_i . Тогда $\angle OX_i X_j < \pi/2$, если X_i лежит с той же стороны от l_i , что и начало координат O , и $\angle OX_i X_j > \pi/2$, если X_i и O разделены прямой l_i . Геометрически второе условие означает, что точки X_i, X_j лежат с одной стороны от перпендикуляра из O на $X_i X_j$ и $|OX_j| > |OX_i|$.

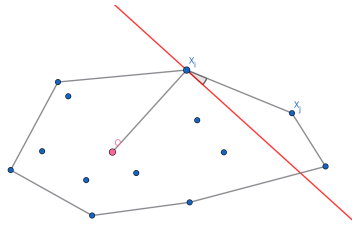


Рис. 3. Выпуклый рекорд, не являющийся центрально выпуклым.

Это позволяет получить соотношение

$$\begin{aligned}
 & \mathbb{E} \mu_n^\lambda(h) = \mathbb{E} \hat{\mu}_n^\lambda(h) \\
 & - 2 \sum_{i=2}^{T_\lambda(n)} \mathbb{E} \left[\mathbf{1}\{X_i \text{ вершина } P_i, l_i \text{ разделяет } O \text{ и } P_i\} h\left(\frac{\|X_i\| - b_n}{a_n}, \varphi\right) \right] \\
 & + \sum_{i=2}^{T_\lambda(n)} \sum_{j=1}^{i-1} \mathbb{E} \left[\mathbf{1}\{X_i X_j \text{ сторона } P_i, \angle O X_i X_j > \pi/2\} h\left(\frac{\|X_i\| - b_n}{a_n}, \varphi\right) \right]. \tag{36}
 \end{aligned}$$

Данная формула обусловлена тем, что в последнем слагаемом однократно учтены выпуклые рекорды, не являющиеся центрально выпуклыми, и дважды учтены центрально выпуклые рекорды, у которых перпендикулярная прямая отделяет O от остальных точек X_1, \dots, X_{i-1} (см. рис. 3). Асимптотика первого слагаемого следует из леммы 3. Из доказательства леммы 3 также следует, что второе слагаемое асимптотически меньше первого.

В силу симметрии,

$$\begin{aligned}
 & \sum_{i=2}^{T_\lambda(n)} \sum_{j=1}^{i-1} \mathbb{E} \left[\mathbf{1}\{X_i X_j \text{ сторона } P_i, \angle O X_i X_j > \pi/2\} h\left(\frac{\|X_i\| - b_n}{a_n}, \varphi\right) \right] \\
 & = \sum_{i=1}^{T_\lambda(n)} (i-1) C_p^2 \int_{(\mathbb{R}^2)^2} p(\|x_1\|) p(\|x_2\|) h\left(\frac{\|x_1\| - b_n}{a_n}, \varphi\right) \\
 & \quad \times \mathbb{P}[X_1 X_2 \text{ сторона conv}(X_1, \dots, X_i) | X_1 = x_1, X_2 = x_2] \\
 & \quad \times \mathbf{1}\{\angle O x_1 x_2 > \pi/2\} dx_1 dx_2.
 \end{aligned}$$

Применяя формулу Бляшке–Петканчина, преобразуем правую часть к виду

$$\begin{aligned}
 & C_p^2 \int_0^{2\pi} \int_0^{+\infty} \int_0^{+\infty} \int_{t_1}^{+\infty} p\left(\sqrt{t_1^2 + r^2}\right) p\left(\sqrt{t_2^2 + r^2}\right) \\
 & \times \left[h\left(\frac{\sqrt{r^2 + t_1^2} - b_n}{a_n}, \psi - \arctan \frac{t_1}{r}\right) \right. \\
 & + h\left(\frac{\sqrt{r^2 + t_1^2} - b_n}{a_n}, \psi + \arctan \frac{t_1}{r}\right) \left. \right] \\
 & \times (t_2 - t_1) \sum_{i=3}^{T_\lambda(n)} [(i-1) (\Phi(r)^{i-2} + (1 - \Phi(r))^{i-2})] dt_2 dt_1 dr d\psi.
 \end{aligned}$$

При интегрировании мы учитывали, что $t_2 > t_1$, поскольку в исходной формуле было условие $\angle O x_1 x_2 > \frac{\pi}{2}$. Это означает, что x_2 находится дальше от центра, чем x_1 , и обе точки лежат с одной стороны от проекции начала координат на прямую, проходящую через x_1, x_2 . Выполним замену переменных:

$$\begin{aligned}
 t_1 &= \delta \sin \phi, \\
 t_2 &= \delta \sin \phi + t, \\
 r &= \delta \cos \phi.
 \end{aligned}$$

Тогда

$$dt_1 dt_2 dr = \delta d\phi dt d\delta.$$

Выражение примет вид

$$\begin{aligned}
 & C_p^2 \int_0^{2\pi} \int_0^{+\infty} \int_0^{+\frac{\pi}{2}} \int_0^{+\infty} p(\delta) p\left(\sqrt{\delta^2 + 2\delta t \sin \phi + t^2}\right) \delta t \\
 & \times \left[h\left(\frac{\delta - b_n}{a_n}, \psi + \frac{\pi}{2} - \phi\right) + h\left(\frac{\delta - b_n}{a_n}, \psi - \frac{\pi}{2} + \phi\right) \right] \\
 & \times \sum_{i=3}^{T_\lambda(n)} [(i-1) (\Phi(\delta \cos \phi)^{i-2} + (1 - \Phi(\delta \cos \phi))^{i-2})] dt d\phi d\delta d\psi.
 \end{aligned}$$

Произведем следующую замену переменных:

$$\delta = a_n z + b_n,$$

$$\phi = \theta \sqrt{\frac{a_n}{b_n}},$$

$$t = \sqrt{a_n b_n} l.$$

Якобиан замены равен

$$d\delta d\phi dt = a_n^2 dz d\theta dl,$$

и рассматриваемое выражение преобразуется в

$$\begin{aligned} & a_n^2 \sqrt{a_n b_n} C_p^2 \int_0^{2\pi} \int_{-\frac{b_n}{a_n}}^{+\infty} \int_0^{+\infty} \int_0^{\frac{\pi}{2} \sqrt{\frac{b_n}{a_n}}} \int_0^{+\infty} p(a_n z + b_n) \\ & \times p \left(\sqrt{(a_n z + b_n)^2 + 2(a_n z + b_n) \sqrt{a_n b_n} l \sin \left(\theta \sqrt{\frac{a_n}{b_n}} \right) + a_n b_n l^2} \right) \\ & \times (a_n z + b_n) l \\ & \times \left(h \left(z, \psi + \frac{\pi}{2} - \theta \sqrt{\frac{a_n}{b_n}} \right) + h \left(z, \psi - \frac{\pi}{2} + \theta \sqrt{\frac{a_n}{b_n}} \right) \right) \\ & \times \sum_{i=3}^{T_\lambda(n)} \frac{i-1}{n^2} \left[\Phi \left((a_n z + b_n) \cos \left(\theta \sqrt{\frac{a_n}{b_n}} \right) \right) \right]^{i-2} \\ & + \left(1 - \Phi \left((a_n z + b_n) \cos \left(\theta \sqrt{\frac{a_n}{b_n}} \right) \right) \right)^{i-2} \right] dl d\theta dz d\psi. \end{aligned}$$

Примем обозначения

$$\omega_n(z, \theta, l) = \sqrt{(a_n z + b_n)^2 + 2(a_n z + b_n) \sqrt{a_n b_n} l \sin \left(\theta \sqrt{\frac{a_n}{b_n}} \right) + a_n b_n l^2}$$

и воспользуемся формулой (7). Выражение примет вид

$$\begin{aligned} & \frac{C_p^2 a_n^2 b_n \sqrt{a_n b_n} (1 - F(b_n))^2 n^2}{f^2(b_n)} \int_0^{2\pi} \int_{-\frac{b_n}{a_n}}^{+\infty} \int_0^{+\infty} \int_0^{\frac{\pi}{2} \sqrt{\frac{b_n}{a_n}}} \int_0^{+\infty} \frac{1 - F(a_n z + b_n)}{1 - F(b_n)} \\ & \times g(a_n z + b_n) \frac{f(b_n)}{f(a_n z + b_n)} \frac{1 - F(\omega_n(z, \theta, l))}{1 - F(b_n)} g(\omega_n(z, \theta, l)) \frac{f(b_n)}{f(\omega_n(z, \theta, l))} \end{aligned}$$

$$\begin{aligned}
& \times \left(\frac{a_n z}{b_n} + 1 \right) l \left(h \left(z, \psi + \frac{\pi}{2} - \theta \sqrt{\frac{a_n}{b_n}} \right) + h \left(z, \psi - \frac{\pi}{2} + \theta \sqrt{\frac{a_n}{b_n}} \right) \right) \\
& \times \sum_{i=3}^{T_\lambda(n)} \frac{i-1}{n^2} \left[\Phi \left((a_n z + b_n) \cos \left(\theta \sqrt{\frac{a_n}{b_n}} \right) \right)^{i-2} \right. \\
& \left. + \left(1 - \Phi \left((a_n z + b_n) \cos \left(\theta \sqrt{\frac{a_n}{b_n}} \right) \right) \right)^{i-2} \right] dl d\theta dz d\psi. \tag{37}
\end{aligned}$$

Согласно лемме 1,

$$\frac{C_p^2 a_n^2 b_n \sqrt{a_n b_n} (1 - F(b_n))^2 n^2}{f^2(b_n)} \sim \sqrt{\frac{b_n}{4\pi^2 a_n}}.$$

Исследуем возможность предельного перехода под знаком интеграла.

Из (20)–(23) следует, что при $n \rightarrow +\infty$ имеем:

$$\begin{aligned}
& \frac{1 - F(a_n z + b_n)}{1 - F(b_n)} \rightarrow e^{-z}, \quad g(a_n z + b_n) \rightarrow 1, \\
& \frac{f(a_n z + b_n)}{f(b_n)} \rightarrow 1, \quad \frac{a_n}{b_n} = \frac{f(b_n)}{b_n} \rightarrow 0, \\
& h \left(z, \psi + \frac{\pi}{2} - \theta \sqrt{\frac{a_n}{b_n}} \right) \rightarrow h \left(z, \psi + \frac{\pi}{2} \right), \\
& h \left(z, \psi - \frac{\pi}{2} + \theta \sqrt{\frac{a_n}{b_n}} \right) \rightarrow h \left(z, \psi - \frac{\pi}{2} \right).
\end{aligned}$$

Рассмотрим $\omega_n(z, \theta, l)$ при фиксированных z, θ, l и $n \rightarrow +\infty$. Имеем:

$$\omega_n(z, \theta, l) = (a_n z + b_n) \sqrt{1 + \gamma_n},$$

где

$$\gamma_n = \frac{2\sqrt{a_n b_n} l \sin \left(\theta \sqrt{\frac{a_n}{b_n}} \right)}{(a_n z + b_n)} + \frac{a_n b_n l^2}{(a_n z + b_n)^2} = \frac{2a_n \theta l}{b_n} + \frac{a_n l^2}{b_n} + o \left(\frac{a_n}{b_n} \right).$$

Используя разложение $\sqrt{1+x} = 1 + x/2 + o(x)$, получаем

$$\omega_n(z, \theta, l) = (a_n z + b_n) \sqrt{1 + \gamma_n} = b_n + a_n \left(z + \theta l + \frac{l^2}{2} \right) + o(a_n).$$

В силу локальной равномерности (22),

$$\frac{f(\omega_n(z, \theta, l))}{f(b_n)} \rightarrow 1.$$

Кроме того, из соотношения (4) следует, что

$$g(\omega_n(z, \theta, l)) \rightarrow 1.$$

Рассмотрим функцию

$$G_n(x) = \frac{1 - F(b_n + a_n x)}{1 - F(b_n)}.$$

Функция $G_n(x)$ монотонна для любого $n \in \mathbb{N}$ и $G_n(x) \rightarrow e^{-x}$ для любого $x \in \mathbb{R}$. Сходимость монотонных функций к непрерывной функции является равномерной на компактах. Следовательно,

$$\frac{1 - F(\omega_n(z, \theta, l))}{1 - F(b_n)} \rightarrow \exp\left(-z - \theta l - \frac{l^2}{2}\right).$$

Рассмотрим выражение, находящееся в аргументе Φ в выражении (37). При фиксированных z, θ выполнено

$$\begin{aligned} (a_n z + b_n) \cos\left(\theta \sqrt{\frac{a_n}{b_n}}\right) &= (a_n z + b_n) \left(1 - \frac{a_n \theta^2}{2b_n} + o\left(\frac{a_n}{b_n}\right)\right) \\ &= b_n + a_n \left(z - \frac{\theta^2}{2}\right) + o(a_n). \end{aligned}$$

Заметим, что

$$\sum_{i=0}^{n-1} i y^{i-1} = \left(\sum_{i=0}^{n-1} y^i \right)' = \left(\frac{1 - y^n}{1 - y} \right)' = \frac{-ny^{n-1}(1-y) + (1-y^n)}{(1-y)^2}.$$

Отсюда получаем

$$\begin{aligned} &\sum_{i=3}^{T_\lambda(n)} \frac{i-1}{n^2} \Phi \left((a_n z + b_n) \cos\left(\theta \sqrt{\frac{a_n}{b_n}}\right) \right)^{i-2} \\ &= o\left(\frac{1}{n}\right) + \frac{1 - \Phi^{T_\lambda(n)} \left(b_n + a_n \left(z - \frac{\theta^2}{2}\right) + o(a_n) \right)}{n^2 \left(1 - \Phi(b_n + a_n \left(z - \frac{\theta^2}{2}\right) + o(a_n))\right)^2} \\ &\quad - \frac{\Phi^{T_\lambda(n)-1} \left(b_n + a_n \left(z - \frac{\theta^2}{2}\right) + o(a_n) \right)}{n \left(1 - \Phi(b_n + a_n \left(z - \frac{\theta^2}{2}\right) + o(a_n))\right)}. \end{aligned}$$

Функции $n(1 - \Phi(a_n x + b_n))$ и $\Phi^n(a_n x + b_n)$ монотонны при фиксированном $n \in \mathbb{N}$ и по лемме 1 поточечно сходятся к непрерывным функциям,

что влечет равномерную сходимость на компактах. Следовательно,

$$\begin{aligned} & \sum_{i=3}^{T_\lambda(n)} \frac{i-1}{n^2} \Phi \left((a_n z + b_n) \cos \left(\theta \sqrt{\frac{a_n}{b_n}} \right) \right)^{i-2} \\ & \rightarrow \frac{1 - \left[\exp \left(-\lambda \exp \left(-z + \frac{\theta^2}{2} \right) \right) \left(1 + e^{-z + \frac{\theta^2}{2}} \right) \right]}{e^{-2z + \theta^2}}. \end{aligned} \quad (38)$$

Для оценки оставшегося слагаемого воспользуемся неравенством $\Phi(a_n x + b_n) \geq \Phi(0) = 1/2$:

$$\begin{aligned} \sum_{i=3}^{T_\lambda(n)} \frac{i-1}{n^2} \left(1 - \Phi \left((a_n z + b_n) \cos \left(\theta \sqrt{\frac{a_n}{b_n}} \right) \right) \right)^{i-2} & \leq \sum_{i=1}^{T_\lambda(n)} \frac{i-1}{n^2} \left(\frac{1}{2} \right)^{i-2} \\ & \leq \frac{4}{n^2} \rightarrow 0. \end{aligned}$$

Переходя к пределу под знаком интеграла в (37), получаем правую часть (35).

Обоснуйте справедливость предельного перехода, показав существование суммируемой мажоранты начиная с некоторого n . Разобьем интеграл на две части в зависимости от знака z .

Рассмотрим сначала случай $z > 0$. Как и в лемме 3, функции $|g(a_n z + b_n)|, |h(x, \varphi)|$ ограничены сверху константами, не зависящими от n . Кроме того, начиная с некоторого n , выполняется

$$0 < \left(\frac{a_n}{b_n} z + 1 \right) \leq (z + 1).$$

Поскольку при $z > 0$ выполнено $\omega_n(z, \theta, l) \geq b_n$, можно воспользоваться неравенством (24) для оценки величины $f(b_n)/f(\cdot)$. Существует $\varepsilon_2 \in (0, 1)$, такое что начиная с некоторого n , интеграл в выражении (37) ограничивается сверху как

$$\begin{aligned} O(1) \int_0^{2\pi} \int_0^{+\infty} \int_0^{+\infty} \int_0^{+\infty} & \left(\frac{1 - F(a_n z + b_n)}{1 - F(b_n)} \right)^{1-\varepsilon_2} \\ & \times \left(\frac{1 - F(\omega_n(z, \theta, l))}{1 - F(b_n)} \right)^{1-\varepsilon_2} (z + 1) l dl d\theta dz d\psi, \end{aligned}$$

при этом данная оценка выполняется поточечно для подынтегральных выражений. По лемме 2, первый множитель подынтегрального

выражения оценки начиная с некоторого n не превосходит

$$(C_1 \exp(-\varepsilon_1 z))^{1-\varepsilon_2}.$$

Для оценки второго множителя оценим снизу величину $\omega_n(z, \theta, l)$ при $0 < \theta < \frac{\pi}{2} \sqrt{\frac{b_n}{a_n}}, 0 < z, l$:

$$\begin{aligned} \omega_n(z, \theta, l) &= \sqrt{(a_n z + b_n)^2 + 2(a_n z + b_n) \sqrt{a_n b_n} l \sin\left(\theta \sqrt{\frac{a_n}{b_n}}\right) + a_n b_n l^2} \\ &\geq \sqrt{b_n^2 + \frac{2b_n a_n l \theta}{4} + a_n b_n l^2} = b_n + \frac{\frac{2b_n a_n l \theta}{4} + a_n b_n l^2}{b_n + \sqrt{b_n^2 + \frac{2b_n a_n l \theta}{4} + a_n b_n l^2}} \\ &\geq b_n + \frac{\frac{2b_n a_n l \theta}{4} + a_n b_n l^2}{2b_n + \sqrt{\frac{2b_n a_n l \theta}{4} + a_n b_n l^2}}. \end{aligned} \quad (39)$$

Первое неравенство следует из положительности слагаемых, условия $z > 0$ и оценки $\sin x \geq 2x/\pi \geq x/4$ при $x \in (0, \frac{\pi}{2})$. Второе неравенство использует неравенство $\sqrt{x+y} \leq \sqrt{x} + \sqrt{y}$ для $x, y > 0$. Следовательно,

$$\begin{aligned} \omega_n(z, \theta, l) &\geq \min\left(b_n + a_n \left(\frac{l\theta}{8} + \frac{l^2}{4}\right), b_n + \frac{1}{2} \sqrt{\frac{2b_n a_n l \theta}{4} + a_n b_n l^2}\right) \\ &\geq \min\left(b_n + a_n \left(\frac{l\theta}{8} + \frac{l^2}{4}\right), b_n + a_n \sqrt{l\theta + l^2}\right). \end{aligned} \quad (40)$$

Последнее неравенство справедливо, начиная с некоторого n , так как $b_n/a_n \rightarrow +\infty$ при $n \rightarrow +\infty$. По лемме 2 получаем

$$\begin{aligned} \left(\frac{1 - F(\omega_n(z, \theta, l))}{1 - F(b_n)}\right)^{1-\varepsilon_2} &\leq \max\left(\left(\frac{1 - F(b_n + a_n \left(\frac{l\theta}{8} + \frac{l^2}{4}\right))}{1 - F(b_n)}\right)^{1-\varepsilon_2}, \right. \\ &\quad \left.\left(\frac{1 - F(b_n + a_n \sqrt{l\theta + l^2})}{1 - F(b_n)}\right)^{1-\varepsilon_2}\right) \\ &\leq C_1^{1-\varepsilon_2} \left[\exp\left(-\varepsilon_1(1-\varepsilon_2)\left(\frac{l\theta}{8} + \frac{l^2}{4}\right)\right) + \exp\left(-\varepsilon_1(1-\varepsilon_2)\sqrt{l\theta + l^2}\right) \right]. \end{aligned}$$

Эта оценка применима и при $\theta > \frac{\pi}{2} \sqrt{b_n/a_n}$, где подынтегральная функция в (37) равна нулю. Полученная мажоранта суммируема, так

как выполнено

$$\begin{aligned}
 & C_3 \int_0^{2\pi} \int_0^{+\infty} \int_0^{+\infty} \int_0^{+\infty} \exp(-\varepsilon_3 z) (z+1) l \\
 & \quad \times \left[\exp\left(-\varepsilon_3 \left(\frac{l\theta}{8} + \frac{l^2}{4}\right)\right) + \exp\left(-\varepsilon_3 \sqrt{l\theta + l^2}\right) \right] dl d\theta dz d\psi \\
 & = 2\pi C_3 \int_0^{+\infty} \exp(-\varepsilon_3 z) (z+1) dz \\
 & \quad \times \int_0^{+\infty} \int_0^{+\infty} l \left[\exp\left(-\varepsilon_3 \left(\frac{l\theta}{8} + \frac{l^2}{4}\right)\right) + \exp\left(-\varepsilon_3 \sqrt{l\theta + l^2}\right) \right] dl d\theta,
 \end{aligned}$$

где $\varepsilon_3 = \varepsilon_1(1-\varepsilon_2) > 0$. Интеграл по z сходится. Второй интеграл также сходится, поскольку

$$\int_0^{+\infty} \int_0^{+\infty} l \exp\left(-\varepsilon_3 \left(\frac{l\theta}{8} + \frac{l^2}{4}\right)\right) d\theta dl = \frac{8}{\varepsilon_3} \int_0^{+\infty} \exp\left(-\frac{\varepsilon_3 l^2}{4}\right) dl < +\infty,$$

и вместе с тем

$$\begin{aligned}
 & \int_0^{+\infty} \int_0^{+\infty} l \exp\left(-\varepsilon_3 \sqrt{l\theta + l^2}\right) d\theta dl = 2 \int_0^{+\infty} \int_l^{+\infty} y \exp(-\varepsilon_3 y) dy dl \\
 & = 2 \int_0^{+\infty} \left(\frac{l}{\varepsilon_3} + \frac{1}{\varepsilon_3^2} \right) \exp(-\varepsilon_3 l) dl = \frac{4}{\varepsilon_3^3} < +\infty.
 \end{aligned}$$

Равенство во втором интеграле получено заменой $y = \sqrt{l\theta + l^2}$. Следовательно, при $z > 0$ существует суммируемая мажоранта.

Рассмотрим случай $z < 0$. Оценки в (37) для функций g, h и слагаемого, зависящего от Φ , остаются в силе. Существует $M < 0$, такое что $h(s, \varphi) = 0$ при $s < M$, поэтому можно считать, что $z \in [M, 0]$. При больших n выполняется

$$0 < \left(\frac{a_n}{b_n} M + 1 \right) \leq \left(\frac{a_n}{b_n} z + 1 \right) \leq 1.$$

Также

$$b_n + a_n z \geq b_n - a_n M \quad \text{и} \quad \omega_n(z, \theta, l) > b_n - a_n M.$$

Рассмотрим n такое, что $b_n - a_n M \geq t_0$, и снова применим (25) для $f(b_n)/f(\cdot)$, получая оценку сверху на интеграл из (37)

$$\begin{aligned} & \frac{4M_2 C_2^2}{(1-\varepsilon_4)^2} \int_0^{2\pi} \int_M^0 \int_0^{+\infty} \int_0^{+\infty} \left(\frac{1-F(a_n z + b_n)}{1-F(b_n)} \right)^{1+\varepsilon_4} \\ & \times \left(\frac{1-F(\omega_n(z, \theta, l))}{1-F(b_n)} \right)^{1+\varepsilon_4} l \, dl \, d\theta \, dz \, d\psi, \end{aligned}$$

при этом данная оценка выполняется поточечно для подынтегральных выражений. Заметим, что из (20) вытекает

$$\left(\frac{1-F(a_n z + b_n)}{1-F(b_n)} \right)^{1+\varepsilon_4} \leq \left(\frac{1-F(a_n M + b_n)}{1-F(b_n)} \right)^{1+\varepsilon_4} \rightarrow e^{-(1+\varepsilon_4)M}.$$

Так как $M < 0$, то аналогично (39) и (40) справедливо

$$\omega_n(z, \theta, l) \geq \min \left(b_n + a_n M + a_n \left(\frac{l\theta}{8} + \frac{l^2}{4} \right), b_n + a_n M + a_n \sqrt{l\theta + l^2} \right). \quad (41)$$

Поэтому, аналогично случаю $z > 0$, интеграл из (37) оценивается сверху как

$$\begin{aligned} & 2\pi C_3 \exp(-\varepsilon_5 M) \int_M^0 \left(\frac{1-F(a_n M + b_n)}{1-F(b_n)} \right)^{1+\varepsilon_4} dz \\ & \times \int_0^{+\infty} \int_0^{+\infty} l \left[\exp \left(-\varepsilon_5 \left(\frac{l\theta}{8} + \frac{l^2}{4} \right) \right) + \exp \left(-\varepsilon_5 \sqrt{l\theta + l^2} \right) \right] dl \, d\theta, \end{aligned}$$

где $\varepsilon_5 = \varepsilon_1(1 - \varepsilon_4)$, при этом данная оценка выполняется поточечно для подынтегральных выражений. Первый интеграл конечен, второй также сходится (см. случай $z > 0$). Таким образом, для (37) при $z < 0$ также существует суммируемая мажоранта, следовательно, можно перейти к пределу под знаком интеграла. Лемма 4 доказана. \square

Лемма 5. *Пусть $h(\delta, \varphi)$ – непрерывная ограниченная функция, $\text{supp } h \subseteq [M_3, M_4] \times [0, 2\pi]$. Тогда*

$$\mathbb{E} \widehat{\mu}_n^\infty(h) \sim \sqrt{\frac{1}{2\pi}} \int_0^{2\pi} \int_{-\infty}^{+\infty} h(\delta, \varphi) d\delta \, d\varphi.$$

Доказательство. Будем следовать схеме доказательства леммы 3. Предположим, что $T_\infty(n) = +\infty$. Тогда

$$\mathbb{E} \widehat{\mu}_n^\infty(h) = C_p \sqrt{\frac{a_n}{b_n}} \sum_{i=1}^{+\infty} \int_{\mathbb{R}^2} h\left(\frac{\|x\| - b_n}{a_n}\right) \times p(\|x\|) \mathbb{P}[X_i \text{ центрально выпуклый рекорд} \mid X_i = x] dx.$$

Эта формула отличается от формулы (33) лишь верхним пределом суммирования. Аналогично, интеграл сводится к (34), где последний множитель заменяется на

$$\frac{1}{n(1 - \Phi(a_n s + b_n))} + \frac{1}{n\Phi(a_n s + b_n)}.$$

При $n \rightarrow +\infty$ это выражение стремится к e^s , пределы остальных выражений остаются прежними, следовательно, подынтегральное выражение поточечно сходится к $h(s, \varphi)$. При фиксированном n функция $\frac{1}{n(1 - \Phi(a_n s + b_n))}$ монотонна, а последовательность сходится к непрерывному пределу e^s , что влечет равномерную сходимость на компакте $[M_3, M_4]$ и равномерную ограниченность. Второе слагаемое также равномерно ограничено. Суммарное выражение также равномерно ограничено, построение суммируемой мажоранты проводится по аналогии с построением из доказательства леммы 3. В случае, когда $T_\infty(n) < +\infty$, но $T_\infty(n)/n \rightarrow +\infty$, рассуждения аналогичны. \square

Лемма 6. Пусть $h(\delta, \varphi)$ – непрерывная ограниченная функция, $\text{supp } h \subseteq [M_3, M_4] \times [0, 2\pi]$. Тогда

$$\mathbb{E} \mu_n^\infty(h) \sim \sqrt{\frac{1}{2\pi}} \int_0^{2\pi} \int_{-\infty}^{+\infty} h(z, \psi) g_2(z) dz d\psi,$$

где

$$g_2(z) = \sqrt{\frac{2}{\pi}} \int_0^{+\infty} \int_0^{+\infty} \exp\left(-\theta^2 - \theta l - \frac{l^2}{2}\right) l dl d\theta + 1.$$

Доказательство. Доказательство проводится аналогично приведенному выше доказательству леммы 4. Предположим, что $T_\infty(n) = +\infty$ (случай $T_\infty(n)/n \rightarrow +\infty$ полностью аналогичен). Теперь суммирование в интегралах леммы 4 производится до $+\infty$. В формуле (37) последнее слагаемое суммируется до $+\infty$. Данное слагаемое равномерно

ограничено на $[M_3, M_4]$, поэтому дальнейшие рассуждения повторяют доказательство леммы 4. Заметим, что

$$\sum_{i=0}^{+\infty} iy^{i-1} = \frac{1}{(1-y)^2},$$

следовательно,

$$\begin{aligned} \sum_{i=3}^{+\infty} \frac{i-1}{n^2} \Phi \left((a_n z + b_n) \cos \left(\theta \sqrt{\frac{a_n}{b_n}} \right) \right)^{i-2} \\ = \frac{1}{n^2 \left(1 - \Phi((a_n z + b_n) \cos \left(\theta \sqrt{\frac{a_n}{b_n}} \right)) \right)^2} - \frac{1}{n} \\ \leq \frac{1}{n^2 (1 - \Phi(a_n M_4 + b_n))^2} \rightarrow e^{2M_4}. \end{aligned}$$

Оценка второго слагаемого не зависит от λ и выводится по аналогии с приведенным выше доказательством леммы 4:

$$\begin{aligned} \sum_{i=3}^{+\infty} \frac{i-1}{n^2} \left(1 - \Phi \left((a_n z + b_n) \cos \left(\theta \sqrt{\frac{a_n}{b_n}} \right) \right) \right)^{i-2} &\leq \sum_{i=1}^{+\infty} \frac{i-1}{n^2} \left(\frac{1}{2} \right)^{i-2} \\ &\leq \frac{4}{n^2} \rightarrow 0. \end{aligned}$$

Таким образом, выражение равномерно ограничено. Единственное отличие состоит в том, что при переходе к поточечному пределу под знаком интеграла в (38) при $\lambda = +\infty$ числитель стремится к 1. Переходя к пределу под знаком интеграла в остальных выражениях (37), получаем результат леммы 6. \square

8.2. Среднее число вершин и одномерный случай.

Доказательство замечания 3. Докажем, что

$$1 - F_R(x) \sim 2\pi C_p x (1 - F(x)) \text{ при } x \rightarrow +\infty. \quad (42)$$

Действительно,

$$\begin{aligned} 1 - F_R(x) &= 2\pi C_p \int_x^{+\infty} y p(y) dy = 2\pi C_p (1 - F(x)) x \int_0^{+\infty} \left(1 + \frac{f(x)}{x} z \right) \\ &\times \frac{1 - F(x + f(x)z)}{1 - F(x)} \frac{f(x)}{f(x + f(x)z)} g(x + f(x)z) dz. \end{aligned}$$

В интеграле произведена замена $y = x + f(x)z$. Аналогично интегрированию (27), переходя к пределу под знаком интеграла, получаем

$$1 - F_R(x) \sim 2\pi C_p (1 - F(x))x \int_0^{+\infty} e^{-z} dz = 2\pi C_p (1 - F(x))x.$$

По определению функции $\ell(x)$,

$$1 = x(1 - F_R(\ell(x))) \sim 2\pi C_p x \ell(x)(1 - F(\ell(x))). \quad \square$$

Доказательство предложения 1. Примем обозначение

$$G(x) = \frac{1}{1 - F_R(x)}.$$

Имеем:

$$\begin{aligned} G'(x) &= \frac{2\pi C_p x p(x)}{(1 - F_R(x))^2} \\ &= 2\pi C_p x p(x) G^2(x) = \frac{2\pi C_p x (1 - F(x)) g(x) G^2(x)}{f(x)}. \end{aligned} \quad (43)$$

Из формулы (4) следует, что $p(x) \neq 0$ начиная с некоторого момента. Следовательно, при больших x выполнено

$$G(\ell(x)) = x.$$

Дифференцируя данное равенство, получаем

$$\ell'(x) = \frac{1}{G'(\ell(x))} = \frac{f(\ell(x))}{2\pi C_p x^2 \ell(x) (1 - F(\ell(x))) g(\ell(x))}. \quad (44)$$

Покажем, что для функции $\ell(x)$ начиная с некоторого момента можно считать $a(x)$ константой. Такие медленно меняющиеся функции называются нормализованными. Это условие равносильно принадлежности $\ell(x)$ классу Зигмунда, а именно выполнению следующего свойства (см., например, [12, теорема 1.5.5]): для любого α начиная с некоторого момента

функция $\ell(x)x^\alpha$ возрастает при $\alpha > 0$ и убывает при $\alpha < 0$.

Заметим, что $G(x)$ монотонно возрастает, что влечет монотонное возрастание $\ell(x)$. Следовательно, при $\alpha > 0$ функция $x^\alpha \ell(x)$ монотонно возрастает. Рассмотрим функцию $g_\alpha(x) = \ell(x)/x^\alpha$. Покажем, что

при $\alpha > 0$ она монотонно убывает начиная с некоторого момента. Воспользовавшись (44), получаем

$$\begin{aligned} g'_\alpha(x) &= \frac{x^\alpha \ell'(x) - \alpha x^{\alpha-1} \ell(x)}{x^{2\alpha}} \\ &= \frac{x^{\alpha-1} \ell(x)}{x^{2\alpha}} \left(\frac{f(\ell(x))}{2\pi C_p x \ell^2(x) (1 - F(\ell(x))g(\ell(x)))} - \alpha \right). \end{aligned}$$

В силу соотношения из замечания 3, первое слагаемое в скобках эквивалентно функции

$$\frac{f(\ell(x))}{\ell(x)g(\ell(x))},$$

которая, согласно соотношениям (23) и (4), стремится к нулю при x стремящемся к $+\infty$. Следовательно, производная с некоторого момента отрицательна, и функция убывает.

Мы показали, что представление для $\ell(x)$ можно выбрать так, чтобы функция $a(x)$ была константой с некоторого момента, поэтому функцию $\varepsilon(x)$ можно вычислить по формуле

$$\varepsilon(x) = \frac{x \ell'(x)}{\ell(x)}.$$

Подставляя $\ell'(x)$ из (44) и вспоминая предложение 1, получаем

$$\varepsilon(x) = \frac{1}{G'(\ell(x))} = \frac{f(\ell(x))}{2\pi C_p x \ell(x)^2 (1 - F(\ell(x))g(\ell(x)))} \sim \frac{f(\ell(x))}{\ell(x)}$$

и

$$\nu(x) = \varepsilon(G(x)) = \frac{f(x)}{2\pi C_p G(x) x^2 (1 - F(x))g(x)} \sim \frac{f(x)}{x},$$

что завершает доказательство. \square

Доказательство теоремы 3. Доказательство аналогично доказательству леммы 4 при $\lambda = 1$ и $T_\lambda(n) = n$ с заменой P_i на P_n в формуле (36). Это также требует аналогичной модификации $\widehat{\mu}_n^\lambda(h)$. Выполняя преобразования интегралов и переходя к пределу, получаем искомое соотношение. Поскольку вершина P_n является одним из выпуклых рекордов за первые n наблюдений, суммируемая мажоранта из доказательства леммы 4 применима. \square

Доказательство предложения 2. Имеем:

$$\begin{aligned}
 \mathbb{E}\tilde{\mu}_n^\lambda(h) &= \sum_{i=1}^{T_\lambda(n)} h\left(\frac{X_i - \beta_n}{\alpha_n}\right) \mathbb{P}\{X_i \text{ выпуклый рекорд}\} \\
 &= \sum_{i=1}^{T_\lambda(n)} \int_{\mathbb{R}} h\left(\frac{x - \beta_n}{\alpha_n}\right) \mathbb{P}[X_i \text{ выпуклый рекорд} \mid X_i = x] p(x) dx \\
 &= \alpha_n \sum_{i=1}^{T_\lambda(n)} \int_{\mathbb{R}} h(z) (F(\alpha_n z + \beta_n)^{i-1} + (1 - F(\alpha_n z + \beta_n))^{i-1}) \\
 &\quad \times p(\alpha_n z + \beta_n) dz \\
 &= \frac{\alpha_n (1 - F(\beta_n)) n}{f(\beta_n)} \\
 &\quad \times \int_{\mathbb{R}} h(z) \left(\frac{1 - F(\alpha_n z + \beta_n)^{T_\lambda(n)}}{n(1 - F(\alpha_n z + \beta_n))} + \frac{1}{n} \sum_{i=1}^{T_\lambda(n)} (1 - F(\alpha_n z + \beta_n))^{i-1} \right) \\
 &\quad \times \frac{1 - F(\alpha_n z + \beta_n)}{1 - F(\beta_n)} \frac{f(\beta_n)}{f(\alpha_n z + \beta_n)} dz.
 \end{aligned}$$

Второе равенство получено заменой переменной $x = \alpha_n z + \beta_n$, а третье – выражением $p(x)$ через формулу (7). Согласно (5) и (21), множитель перед интегралом стремится к 1. Используя соотношения (20), (22) и (21), получаем, что подынтегральное выражение поточечно сходится к $h(z)(1 - e^{-\lambda e^{-z}})$. Обоснование предельного перехода под знаком интеграла аналогично доказательству теоремы 1 и здесь опускается. \square

8.3. Некоторые интегралы.

Доказательство замечания 1. Выполним замену $u = \theta + l$:

$$\begin{aligned} \int_0^{+\infty} \int_0^{+\infty} \exp \left(-\theta^2 - \theta l - \frac{l^2}{2} \right) l \, dl \, d\theta &= \int_0^{+\infty} e^{-\frac{\theta^2}{2}} \int_{\theta}^{+\infty} (u - \theta) e^{-\frac{u^2}{2}} du \, d\theta \\ &= \int_0^{+\infty} e^{-\frac{\theta^2}{2}} \int_{\theta}^{+\infty} u e^{-\frac{u^2}{2}} du \, d\theta - \int_0^{+\infty} e^{-\frac{\theta^2}{2}} \int_{\theta}^{+\infty} \theta e^{-\frac{u^2}{2}} du \, d\theta. \end{aligned}$$

Первое слагаемое равно интегралу Гаусса:

$$\int_0^{+\infty} e^{-\frac{\theta^2}{2}} \int_{\theta}^{+\infty} u e^{-\frac{u^2}{2}} du \, d\theta = \int_0^{+\infty} e^{-\theta^2} d\theta = \frac{\sqrt{\pi}}{2}.$$

Второе слагаемое вычисляется интегрированием по частям:

$$\begin{aligned} \int_0^{+\infty} \theta e^{-\frac{\theta^2}{2}} \int_{\theta}^{+\infty} e^{-\frac{u^2}{2}} du \, d\theta &= \int_0^{+\infty} \left(-e^{-\frac{\theta^2}{2}} \right)' \int_{\theta}^{+\infty} e^{-\frac{u^2}{2}} du \, d\theta \\ &= -e^{-\frac{\theta^2}{2}} \int_{\theta}^{+\infty} e^{-\frac{u^2}{2}} du \Big|_0^{+\infty} - \int_0^{+\infty} e^{-\theta^2} d\theta = \frac{\sqrt{2\pi}}{2} - \frac{\sqrt{\pi}}{2}. \end{aligned}$$

Подставляя значения интегралов в исходное равенство, получаем результат замечания 1. \square

Доказательство замечания 4. Преобразуем интеграл:

$$\begin{aligned} &\sqrt{\frac{1}{2\pi}} \int_0^{2\pi} \int_{-\infty}^{+\infty} \bar{g}(z) dz d\psi \\ &= 2 \int_{-\infty}^{+\infty} \int_0^{+\infty} \int_0^{+\infty} l \exp \left(-2z - \theta l - \frac{l^2}{2} - e^{-z + \frac{\theta^2}{2}} \right) dl \, d\theta \, dz + \sqrt{2\pi} \int_{-\infty}^{+\infty} e^{-z - e^{-z}} dz. \end{aligned}$$

Второе слагаемое вычисляется заменой $u = e^{-z}$:

$$\sqrt{2\pi} \int_{-\infty}^{+\infty} e^{-z - e^{-z}} dz = \sqrt{2\pi} \int_0^{+\infty} e^{-u} du = \sqrt{2\pi}.$$

Первое слагаемое можно представить в виде

$$2 \int_0^{+\infty} \left(\int_0^{+\infty} l \exp \left(-\theta l - \frac{l^2}{2} \right) dl \right) \left(\int_{-\infty}^{+\infty} \exp \left(-2z - e^{-z+\frac{\theta^2}{2}} \right) dz \right) d\theta. \quad (45)$$

Во внутреннем интеграле по z сделаем замену $s = e^{-z+\frac{\theta^2}{2}}$:

$$\int_{-\infty}^{+\infty} \exp \left(-2z - e^{-z+\frac{\theta^2}{2}} \right) dz = \int_0^{+\infty} s e^{-s} e^{-\theta^2} ds = e^{-\theta^2} \Gamma(2) = e^{-\theta^2}.$$

Подставляя это в (45), получаем интеграл из замечания 1:

$$2 \int_0^{+\infty} \int_0^{+\infty} l \exp \left(-\theta l - \frac{l^2}{2} - \theta^2 \right) dl d\theta = \sqrt{\pi}(2 - \sqrt{2}).$$

Суммируя значения двух интегралов, получаем, что исходный интеграл равен $2\sqrt{\pi}$. \square

СПИСОК ЛИТЕРАТУРЫ

1. A. Rényi, *Théorie des éléments saillants d'une suite d'observations*. In: Colloquium on Combinatorial Methods in Probability Theory (Aarhus, 1962), 104–117.
2. S. I. Resnick, *Limit laws for record values*. — Stoch. Process. Appl. **1** (1973) 67–82.
3. В. Б. Невзоров, *Рекорды*. — Теор. вер. и примен. **32**, No. 2 (1987) 219–251.
4. S. I. Resnick, *Extreme values, regular variation, and point processes*. Springer Science & Business Media, New York, 2008 (переиздание 1987 года).
5. L. de Haan, S. I. Resnick, *Local limit theorems for sample extremes*. — Ann. Probab. **10**, No. 2 (1982) 396–413.
6. C. Godrèche, J. Luck, *On sequences of convex records in the plane*. — J. Stat. Mech. **2024** (2024) 093208.
7. C. M. Goldie, S. I. Resnick, *Records in a partially ordered set*. — Ann. Probab. **17** (1989) 678–699.
8. M. Kaluszka, *Estimates of some probabilities in multidimensional convex records*. — Appl. Math. (Warsaw) **23**, No. 1 (1995) 1–11.
9. H. Carnal, *Die konvexe Hülle von rotationssymmetrisch verteilten Punkten*. — Z. Wahrsch. Verw. Gebiete **15** (1970) 168–176 (German, with English summary).
10. I. Hueter, *Limit theorems for the convex hull of random points in higher dimensions*. — Trans. Amer. Math. Soc. **351** (1999) 4337–4363.
11. A. Rényi, R. Sulanke, *Über die konvexe Hülle von n zufällig gewählten Punkten*. — Z. Wahrsch. Verw. Gebiete **2** (1963) 75–84.
12. N. Bingham, C. Goldie, J. Teugels, *Regular Variation*. Cambridge University Press, Cambridge, 1987.

13. A. V. Gnedin, *Records from a multivariate normal sample*. — Statist. Probab. Lett. **39**, No. 1 (1998) 11–15.
14. J.-D. Deuschel, O. Zeitouni, *Limiting curves for i.i.d. records*. — Ann. Probab. **23**, No. 2 (1995) 852–878.
15. C. M. Goldie, S. I. Resnick, *Many multivariate records*. — Stoch. Process. Appl. **59**, No. 2 (1995) 185–216.
16. A. V. Gnedin, *Conical extremes of a multivariate sample*. — J. Res. Natl. Inst. Stand. Technol. **99**, No. 4 (1994) 511–519.
17. L. de Haan, S. I. Resnick, *Limit theory for multivariate sample extremes*. — Z. Wahrscheinl. Verw. Gebiete **40** (1977) 317–337.
18. A. V. Gnedin, *On a best-choice problem with dependent criteria*. — J. Appl. Probab. **31**, No. 1 (1994) 221–234.
19. C. Dombry, M. Zott, *Multivariate records and hitting scenarios*. — Extremes **21** (2018) 343–361.
20. A. V. Gnedin, *The chain records*. — Electron. J. Probab. **12** (2007) 767–786.
21. H.-K. Hwang, T.-H. Tsai, *Multivariate records based on dominance*. — Electron. J. Probab. **15** (2010) 1863–1892.
22. S. Tat, M. R. Faridrohani, *A new type of multivariate records: depth-based records*. — Statist. **55**, No. 1 (2021) 1–25.
23. R. Schneider, W. Weil, *Stochastic and Integral Geometry*. Probability and its Applications, Springer, Berlin, 2008.

Zaporozhets D. N., Simarova E. N. On planar convex records.

Let X_1, X_2, \dots be a sequence of independent identically distributed random vectors in \mathbb{R}^2 . A vector X_n is called a *convex record* if it does not belong to the convex hull of the preceding vectors $\text{conv}(X_1, \dots, X_{n-1})$. In this paper, we investigate the asymptotic behavior of the mean number of convex records for distributions with exponentially decaying tails.

It is shown that a properly normalized empirical measure of convex records converges weakly in mean to an absolutely continuous limiting measure with an explicitly computed density.

С.-Петербургское отделение
Математического института
им. В. А. Стеклова РАН;
С.-Петербургский государственный университет,
Санкт-Петербург, Россия
E-mail: zap1979@gmail.com

Поступило 25 декабря 2025 г.

Национальный исследовательский университет
“Высшая школа экономики”;
С.-Петербургское отделение
Математического института
им. В. А. Стеклова РАН,
Санкт-Петербург, Россия
E-mail: katerina.1.14@mail.ru